

## РОЗДІЛ VI.

### ВИХРОВА ТЕОРІЯ КРИЛА КОНЕЧНОГО РОЗМАХУ

#### § 1. Вступ

Вивчаючи безконечно довге крило в плоско-рівнобіжному потоці ми бачили, що таке крило від потоку зазнає тільки підімальної сили, що її величина пропорційна до циркуляції навколо крила.

Якщо взяти елемент безконечно довгого крила завширшки  $dx$ , то діймальна сила, що припадає на нього, подається формулою:

$$dP = \rho V_0 \Gamma dx.$$

Визначаючи циркуляцію  $\Gamma$  з умови конечності швидкості в кутовій точці профілю, маємо для неї величину:

$$\Gamma = \pi V_0 t \sin \alpha_1,$$

де  $\alpha_1$  — кут атаки щодо першої осі профілю (тобто напряму, якому відповідає підімальна сила, що дорівнює нулеві),  $t$  — якась довжина, характеризує профіль (і звичайно мало різнятися від глибини профілю). Тому, що застосувані на практиці кути  $\alpha_1$  дуже малі, то формулу можна замінити такою, простішою

$$\Gamma = \pi V_0 t \alpha_1,$$

так що

$$dP = \pi \rho V_0^2 t \alpha_1 dx,$$

при чому кут  $\alpha_1$  треба подати в радіянах.

У дослідах, де плоско-рівнобіжне обтікання крила здійснено з величезними наближеннями, виявлено, що ці формули досить добре погоджуються з дійсністю.

Правда, у зв'язку з в'язкістю повітря, якою, виводячи формулу (2), нехтували, наведені наслідки потребують двох поправок, а саме: діймальна сила в дійсності буде трохи менша величина, ніж та, що відповідає формулі (4), а для чолового опору буде величина зовсім малі, але все таки не нуль. Джерело обох відхиленів від теорії — це тертя повітря об поверхню крила.

Чоловий опір, що припадає на елемент  $dx$  безконечно-довгого крила (так званий профільний опір), можна подати в формі:

$$dQ_p = C_p \rho V_0^2 t dx,$$

де  $C_p$  — якийсь сучинник, що його визначають тепер майже тільки дослідним шляхом.

<sup>1</sup> Див. додаток 3, приклад 2.

Для добрих профілів:

$$C_p \approx 0,004.$$

Формула (5) вносить першу поправку на поверхневе тертя у знайдений нас раніше закон опору для безконечно-довгого крила.

Щоб внести другу поправку на поверхневе тертя крила, покладімо

$$\Gamma = k V_0 t \alpha_1 \quad (6)$$

$$dP = k_0 V_0^2 t \alpha_1 dx, \quad (7)$$

$k$  — якесь стало число, близьке до  $\pi$ , але завжди менше від нього. Це число залежить від профілю крила.<sup>1</sup>

Переходячи від плоско-рівнобіжних течій до обтікання реального крила, ми повинні зразу відзначити два важливі чинники, що їх потверджують усі експерименти; поперше — головий опір реального крила чимало перевищує ту величину, яку можна було б за формулою (5) розглядати, наслідок поверхневого тертя; подруге, при рухові крила конечного розміру за ним утворюються вихри, що тягнуться від заднього окраїка крила назад, приблизно в формі плоскої смуги.

Не спиняючись тут на пояснюванні процесу утворювання вихрів позаду крила, зауважмо, що на вихротворення повинна витрачатися якесь енергія, це значить, що при рухові крила повинен поставати опір, зв'язаний із зазначенім вихротворенням. Отже, наведені експериментальні факти між собою зв'язані: вихри, що супроводять крило, спричиняються (або індукують) до якогось головного опору, що в зв'язку з цим має називу індуктивного опору.

Тому що індуктивний опір є головна частина головного опору і тому що він, відмінно від профільного опору, чимало залежить від розмаху крила, то стає зрозумілим важливе значення теорії індуктивного опору<sup>2</sup> (або вихрової теорії крила) при проєктуванні несних поверхень літака.

## § 2. Основні поняття

Перше ніж почати викладати основні припущення, що належать збудовано вихрову теорію крила, спинімось трохи на процесі утворення вихрової заслони, що супроводжує крило в його рухові.

Покажімо, що для крила конечних розмірів існування такої вихрової заслони кончено впливає з існування підіймальної сили. І справді, якщо крило впливає якесь підіймальна сила, то тиск коло нього боку крила більший, ніж



Рис. 102 а.

тиск коло верхнього боку. Ця різниця тиску призводить до якоїсь течії, де повітря під крилом рухається від середини до країв, а над крилом від країв до середини (рис. 102 а). Цей рух зберігається також і після того як частки течива, що брали в ньому участь, залишають через основну течію крило.

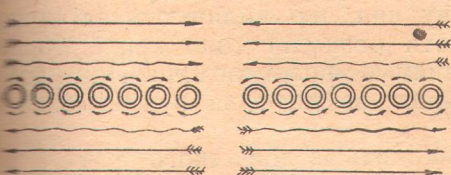


Рис. 102 б.

<sup>1</sup> Питання, як знайти число  $k$  для заданого профілю, розглянемо нижче (див. § 7 у цьому виді).

<sup>2</sup> Ідеї, що лежать в основі цієї теорії, висловлювали Lanchester, M. E. Жуковський С. Чаплигін, але тільки Prandtl'еві та його школі пощастило розвинути струнку й пошовну вихрову теорію крила.

Отож, за рухомим крилом тягнеться якась поверхня, вздовж якої швидкість течива зазнає розриву (рис. 102 б). Така поверхня розриву еквівалентна рядові рівнобіжних вихрів, що починаються на задньому окраїні крила й тягнуться назад у напрямі потоку (рис. 103).

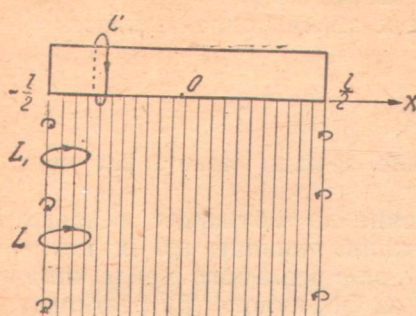


Рис. 103.

Контур  $L$  можна перемістити в положення  $L_1$ , а також у лінію  $C$ , що охоплює крило в перекрої  $x$ . При цьому переміщення контура  $L$  в нове положення він не перетне крила, а також не перетне вихрів.

Тому на підставі Stokes'ової теореми циркуляція по цьому контурові повинна залишатися під час досліджуваного переміщення контура сталою.

Отже ми доходимо висновку, що в перекрої крила з абсцисою  $x$  буде та сама циркуляція  $\Gamma(x)$ , що й навколо вихрів, які впираються на ліву частину крила, обмежену абсцисою  $x$  справа.

Якщо ми візьмемо два перекрої крила  $M$  і  $M_1$  (рис. 104) з абсцисами  $x$  і  $x + dx$ , то циркуляції, їм відповідають, будуть

$$\Gamma(x) \text{ і } \Gamma(x + dx) = \Gamma(x) + d\Gamma(x).$$

На підставі сказаного на елемент крила  $MM_1$ , повинна спиратися вихро- смуга з циркуляцією  $d\Gamma(x)$ .

Отже, ми показали, що циркуляція навколо крила конечного розміру міняється, переходячи від одного перекрою до другого, і є, очевидно, якась функція від  $x$ . Разом з тим установлено зв'язок між циркуляцією навколо крила та інтенсивностями вихрів, що супроводять крило.

Щоб розв'язати завдання про величину сил, що впливають на крило конечного розміру, треба насамперед знати розподіл коло крила додаткових швидкостей, що зв'язані з існуванням вихрової заслони. При цьому точна математична теорія питання повинна зважити на рух і можливі зміни самої вихрової заслони.

Подавана нижче наближена теорія виходить із дослідного факту, що швидкість додаткової течії течива, утворювана вихровою заслоною, має порівнюючи з основною швидкістю потоку.

Тому вихрова теорія крила бере за основу такі положення:

- 1) можна знехтувати власний рух вихрової заслони;
- 2) вихрові лінії простолінійні й мають той самий напрям, що й швидкість потоку на безконечності перед крилом (якщо припустити, що крило в спокої, а потік набігає);

Візьмімо (рис. 103) якийсь контур, що обіймає частину цих вихрів деякий час. Циркуляція по цьому контурові матиме деяку вартість; вона залежить від інтенсивності вихрів, що проходять через цей контур. Якщо розташуємо вісь  $X$  по розмахові цього крила, як це показано на рисунку, контур  $L$ , очевидно, визначатимуть абсциси, що відповідають крайнім вихрам, захоплюваним контуром. Ліва абсциса є стало число, а права — якщо змінна величина  $x$ . Ось через що циркуляцію по контурові  $L$  можна вважати функцією від  $x$ . Позначмо її  $\Gamma(x)$ .

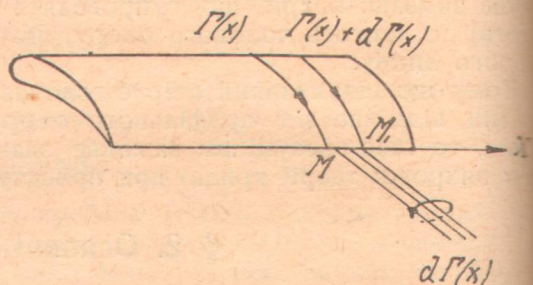


Рис. 104.

3) якщо позначити через  $v(x)$  числову вартість зв'язаної з існуванням вихрової заслони сторчової швидкості для якоїсь точки  $x$  розмаху крила, то відношення

$$\frac{v(x)}{V_0}$$

є мала величина, що її квадрат можна знехтувати.

Виберімо тепер для всього дальншого таку систему координат: вісь  $X$  розташуємо, як і вище, по задньому окрайкові крила й зліва направо, якщо дивитися ззаду; за початок координат візьмемо середину розмаху, за напрям осі  $Z$  візьмемо напрям потоку на безконечності перед крилом вісь  $Y$  спрямуємо вгору. Візьмімо тепер елемент крила, обмежений перекроїми з абсцисами  $x$  і  $x+dx$ . Ширина цього елемента дорівнює, отже,  $dx$ . Нехай першу з цього елемента поставлено під кутом  $\alpha_1$  до напряму руху крила.

Кут  $\alpha_1$  назвімо геометричним кутом атаки.

У зв'язку з існуванням вихрової заслони під вибраним елементом крила буде якась швидкість  $v(x)$ , спрямована сторч униз. Цієї швидкості не було б, якби досліджуваний елемент крила належав до безконечно-довгого крила в плоскому потокові.

Складімо геометрично швидкість потоку на безконечності перед крилом з швидкістю  $v(x)$  (рис. 105). Нова швидкість утворюватиме з першою віссю профілю вже не кут  $\alpha_1$ , а менший кут

$$\alpha_1 - \Delta\alpha_1,$$

$$\operatorname{tg} \Delta\alpha_1 = \frac{v(x)}{V_0}.$$

Важаючи на малість відношення  $\frac{v(x)}{V_0}$ , можна прийняти  $\operatorname{tg} \Delta\alpha_1 = \Delta\alpha_1$  та зважаючи на малість  $\Delta\alpha_1$ , можна прийняти  $\alpha_1 - \Delta\alpha_1 = \alpha_1$ .

$$\Delta\alpha_1 = \frac{v(x)}{V_0}. \quad (8)$$

Також що новий кут атаки дорівнюватиме

$$\alpha_i = \alpha_1 - \frac{v(x)}{V_0}. \quad (9)$$

Величина ж нової швидкості дорівнюватиме

$$V'_0 = \sqrt{V_0^2 + [v(x)]^2} = V_0 \sqrt{1 + \left[ \frac{v(x)}{V_0} \right]^2},$$

тому, що квадрат відношення  $\frac{v(x)}{V_0}$ , за вищесказаним, ми нехтуємо, та різницю між величинами нової та старої швидкості можна знехтувати (лишається тільки різниця в напрямах).

Уявімо собі тепер, що наш елемент крила належить не до конечного крила, а до безконечно-довгого, але поставленого не під кутом  $\alpha_1$ , а під

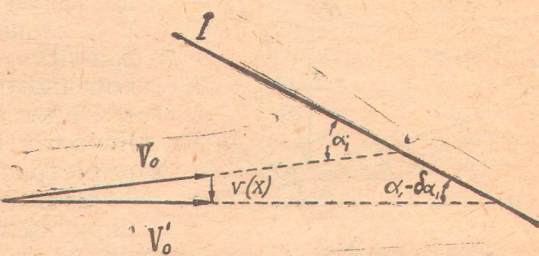


Рис. 105.

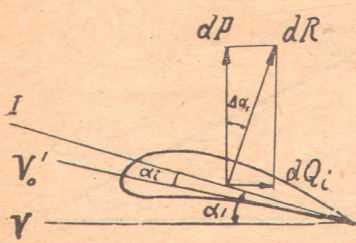
кутом  $\alpha_i = \alpha_1 - \frac{v(x)}{V_0}$ , при чому швидкість на безконечності має попередні величину. Легко бачити, що ці елементи будуть в однаковому положенні щодо обтікання. Той ефект, що його дає для нашого елемента вихрове заслона, в уявлюваного елемента вже зважено через повертання на відповідний кут усього потоку.

Можна сказати, що в випадку конечного крила є деякий скіс потоку зв'язаний з існуванням вихрової заслони; інакше кажучи, якщо елемент конечного крила поставлено під геометричним кутом атаки  $\alpha_1$ , то дійсний (або динамічний) кут атаки буде не  $\alpha_1$ , а що визначається формулою (9).

Дальше положення вихрової теорії є можливість застосувати до елемента крила конечного розмаху основні формулі, подані в § 1 для елемента безконечно-довгого крила. Ясно тільки, що скрізь доведеться брати не геометричний, а дійсний кут атаки.

Застосовуючи формулі § 1, знайдемо, що циркуляція навколо елемента дорівнює

Рис. 106.



$$\Gamma(x) = k V_0 t(x) \left[ \alpha_1 - \frac{v(x)}{V_0} \right].$$

При цьому замість  $t$  у формулі (3) ми пишемо тут  $t(x)$ , бо глибина крила конечного розмаху, загалом кажучи, різна в різних перекроях.

Сила опору буде спрямована нормально вже не до напряму швидкості крила, а до напряму швидкості  $V'_0$  допомічної течії, з якою ми порівнюємо обтікання нашого елемента. Називаючи цю силу  $dR$ :

$$dR = \rho \Gamma(x) V_0 dx \quad (11)$$

і пам'ятаючи, що ця сила вже не нормальна до напряму руху крила, знадобимо, що вона дає не тільки підіймальну силу, а й чоловий опір (рис. 106). Позначаючи підіймальну силу через  $dP$ , а чоловий опір через  $dQ$  (іноді його позначають через  $dQ_i$ , щоб підкреслити, що це є індуктивний опір, який різниеться від повного опору, що дорівнює  $dQ = dQ_i + dQ_{\text{матимемо}}$ ):

$$dP = \rho \Gamma(x) V_0 dx \cos(\Delta \alpha_1),$$

$$dQ = \rho \Gamma(x) V_0 dx \sin(\Delta \alpha_1).$$

Через те, що  $\Delta \alpha_1$  мале, можемо прийняти, що

$$\cos(\Delta \alpha_1) = 1, \quad \sin(\Delta \alpha_1) = \Delta \alpha_1.$$

Тому остаточні формулі мають вигляд:

$$dP = \rho \Gamma(x) V_0 dx, \quad (12)$$

$$dQ = \rho \Gamma(x) V_0 \Delta \alpha_1 dx = \rho \Gamma(x) v(x) dx. \quad (13)$$

Щоб визначити повну підіймальну силу й повний індуктивний опір треба просумувати ці вирази по всьому розмахові крила. Якщо позначити розмах через  $l$ , то це приводить до наслідку:

$$P = \rho V_0 \int_{-\frac{l}{2}}^{\frac{l}{2}} \Gamma(x) dx, \quad (14)$$

$$Q = \rho \int_{-\frac{l}{2}}^{\frac{l}{2}} \Gamma(x) v(x) dx. \quad (15)$$

Ці формулі є основні для всього дальншого викладу. Друга з них показує, що нам треба знайти насамперед вираз для  $v(x)$  через  $\Gamma(x)$ , бо, як ми вже зазначили, додаткову швидкість  $v(x)$  певно обумовлює розподіл циркуляції по розмахові. Це питання ми розглянемо в дальншому паграфі.

### § 3. Визначення додаткової сторчової швидкості при заданому розподілі циркуляції

Візьмімо два перекрої крила, яким відповідають абсциси  $\xi$  і  $\xi + d\xi$ . Нехай циркуляція навколо крила в цих перекроях має вартості  $\Gamma(\xi)$  і  $\Gamma(\xi) + d\Gamma(\xi)$ , так що на виділений елемент крила спирається вихрова смуга завширшки  $d\xi$  з циркуляцією  $d\Gamma(\xi)$ . А що  $d\xi$  досить мала величина, то можемо цю вихрову смугу розглядати, як простолінійний вихровий шнур.

Візьмімо якунебудь точку  $M$  розмаху крила з абсцисою  $x$  і знайдімо тут швидкість безпосередньо під цією точкою крила, яка існує через наявність виділеної вихрової смужки. При цьому будемо пам'ятати, що нас цікавить тільки величина сторчової проекції швидкості.

Пригадаймо наслідки § 15 розділу I.

Якщо вихрова смуга тягнеться б на безконечність в обидва боки, то для швидкості, що нас цікавить, був би вираз:

$$\frac{1}{2\pi} \frac{d\Gamma(\xi)}{x - \xi} = \frac{1}{2\pi} \frac{d\Gamma}{d\xi} \frac{d\xi}{x - \xi},$$

але в нас вихор тягнеться на безконечність тільки в один бік щодо нормалі з точки  $M$  на напрям вихру. Тому, визначаючи швидкість інтегруванням виразу (21) в § 15 розділу I, ми матимемо тільки половину допіру оце наведеного виразу.

Отже швидкість у точці  $M$ , що залежить від виділеної вихрової смуги, дорівнює

$$\frac{1}{4\pi} \frac{d\Gamma}{d\xi} \frac{d\xi}{x - \xi}.$$

Зауважмо, що ця швидкість спрямована сторч униз і дає, значить, точно проекцію, що нас цікавить. Звернімо тепер увагу на той випадок, коли точка  $M$  лежить безпосередньо під виділеним елементом крила. Тоді, як виходить з § 15 розділу I, швидкість у точці  $M$  буде не сторчова, а позема (рис. 107) і, значить, її проекція на сторчовий напрям дорівнюватиме нульові. Щоб мати повну сторчову швидкість у точці  $M$ , треба все крило розбити на елементи й зважити ролю всіх вихрових смужок. На підставі тільки но зробленого зауваження вихрова смужка, що лежить безпосередньо над точкою  $M$ , не дає сторчової проекції. Тому цю смужку, визначаючи повну швидкість, ми повинні викинути.

Для цього, взявши якесь досить мале додатне число  $\epsilon$ , виділімо смужку, якій відповідають абсциси  $x - \epsilon$  і  $x + \epsilon$ .

Частину розмаху, що залишається, поділімо на елементи, для кожного з них складімо вираз (16) і просумуємо по всіх цих елементах. Так ми прийдемо для сторчової швидкості в точці  $M$  до виразу:

$$\frac{1}{4\pi} \int_{-\frac{l}{2}}^{\frac{x-\epsilon}{l}} \frac{d\Gamma}{d\xi} \frac{d\xi}{x - \xi} + \frac{1}{4\pi} \int_{\frac{x+\epsilon}{l}}^{\frac{l}{2}} \frac{d\Gamma}{d\xi} \frac{d\xi}{x - \xi}$$



Рис. 107.

В дійсності не впливає на швидкість у точці  $M$  тільки вихор, що жить безпосередньо над нею; тому в цьому виразі ми повинні вважати за безконечно малоу величину  $\varepsilon$  перейти до границі  $\lim \varepsilon = 0$ .

Так, для сторчової швидкості  $v(x)$  у точці  $M$  матимемо остаточний вираз:

$$v(x) = \lim_{\varepsilon \rightarrow 0} \frac{1}{4\pi} \left\{ \int_{-\frac{l}{2}}^{\frac{x-\varepsilon}{l}} \frac{d\Gamma}{d\xi} \frac{d\xi}{x-\xi} + \int_{\frac{x+\varepsilon}{l}}^{\frac{l}{2}} \frac{d\Gamma}{d\xi} \frac{d\xi}{x-\xi} \right\} \quad (17)$$

Цей вираз дорівнював би інтегралові

$$\frac{1}{4\pi} \int_{-\frac{l}{2}}^{\frac{l}{2}} \frac{d\Gamma}{d\xi} \frac{d\xi}{x-\xi}, \quad (18)$$

якби цей інтеграл існував, але інтеграл (18) не існує, бо порядок безкінечності підінтегральної функції в точці  $\xi = x$  дорівнює 1.

Вираз же (17) має цілком певну конечну вартість<sup>1</sup>; за Cauchy його звати головною вартістю інтеграла (18). Так ми приходимо до формул

$$v(x) = \frac{1}{4\pi} \int_{-\frac{l}{2}}^{\frac{l}{2}} * \frac{d\Gamma}{d\xi} \frac{d\xi}{x-\xi}, \quad (19)$$

де знак  $\int^*$  показує головну вартість інтеграла (18).

Через цей інтеграл ми можемо при певному розподілі циркуляції розмахові визначити розподіл додаткових сторчових швидкостей під крилом.

Якщо циркуляція  $\Gamma(x)$  подається за допомогою елементарних функцій, підставляючи її у вираз (19) і знайшовши головну вартість інтеграла ми зразу визначимо сторчову швидкість. Зауважмо, проте, що функції які трапляються на практиці, рідко визначаються простими виразами а багато частіше їх задають таблицями або графічно. В цих випадках

<sup>1</sup> Щоб показати існування границі

$$H = \lim_{\varepsilon \rightarrow 0} \left\{ \int_a^{c-\varepsilon} f(x) \frac{dx}{x-c} + \int_{c+\varepsilon}^b f(x) \frac{dx}{x-c} \right\},$$

покладімо

$$f(x) = f(c) + (x-c) \varphi(x).$$

Тоді

$$\begin{aligned} H &= f(c) \lim_{\varepsilon \rightarrow 0} \left\{ \int_a^{c-\varepsilon} \frac{dx}{x-c} + \int_{c+\varepsilon}^b \frac{dx}{x-c} \right\} + \lim_{\varepsilon \rightarrow 0} \left\{ \int_a^{c-\varepsilon} \varphi(x) dx + \int_{c+\varepsilon}^b \varphi(x) dx \right\} = \\ &= \lim_{\varepsilon \rightarrow 0} f(c) \left\{ \ln(c-x) \Big|_a^{c-\varepsilon} + \ln(x-c) \Big|_{c+\varepsilon}^b \right\} + \int_a^b \varphi(x) dx = \\ &= \lim_{\varepsilon \rightarrow 0} f(c) \ln \frac{\varepsilon(b-c)}{(c-a)\cdot\varepsilon} + \int_a^b \varphi(x) dx = f(c) \ln \frac{b-c}{c-a} + \int_a^b \varphi(x) dx. \end{aligned}$$

доводиться користатися з дуже поширеного в механіці та фізиці способу розкладати такі функції в тригонометричні ряди.

Не маючи змоги докладніше спинитися на цьому питанні<sup>1</sup>, ми скажемо тільки про звичайний спосіб, застосовуваний у таких випадках, щоб обчислюти сучинники розкладу функції в тригонометричний ряд.

Пам'ятаймо, що на кінцях крила циркуляція завжди дорівнює нулеві, тобто

$$\Gamma\left(-\frac{l}{2}\right) = \Gamma\left(\frac{l}{2}\right) = 0.$$

Це безпосередньо виходить із того, що було сказано в § 2 про зв'язок між циркуляцією навколо крила в перекрої  $x$  та інтенсивністю вихрів, що спираються на частину крила, обмежену з одного боку цим перекроєм. Далі з симетрії виходить, що в перекроях  $x$  та  $-x$  циркуляція однакова, тобто

$$\Gamma(x) = \Gamma(-x). \quad (20)$$

Насамперед зробімо перетворення змінних, покладаючи

$$x = \frac{l}{2} \cos \vartheta.$$

Через те, що  $x$  міняється від  $-\frac{l}{2}$  до  $\frac{l}{2}$ , то  $\vartheta$  мінятиметься від  $\pi$  до  $0$ .

Після цього перетворення  $\Gamma(x)$  буде вже якесь функція від  $\vartheta$ ; її (як це виходить із теорії тригонометричних рядів), можна подати в формі:

$$\Gamma(x) = A_1 \sin \vartheta + A_2 \sin 2\vartheta + A_3 \sin 3\vartheta + \dots + A_n \sin n\vartheta + \dots, \quad (21)$$

де  $A_1, A_2, A_3, \dots$  якісь сучинники (далі ми покажемо, як знайти ці сучинники, якщо  $\Gamma(x)$  задано графічно або таблицею).

Вираз (21) є розклад циркуляції в тригонометричний ряд, або в ряд Fourier.

Обираючи першу частину на якомусь члені, ми матимемо наближене представлення циркуляції за допомогою тригонометричних функцій. На практиці досить брати 7—9 членів цього розкладу.

Насамперед використаймо властивість (20). Вона показує, що в розкладі (21) повинні дорівнювати нулеві всі члени з паристими індексами. І справді, якщо

$$x = \frac{l}{2} \cos \vartheta,$$

то

$$-x = \frac{l}{2} \cos(\pi - \vartheta).$$

Тому функція  $\Gamma(x)$  не повинна мінятися при заміні  $\vartheta$  на  $\pi - \vartheta$ , тобто

$$\begin{aligned} \Gamma(x) &= A_1 \sin(\pi - \vartheta) + A_2 \sin 2(\pi - \vartheta) + A_3 \sin 3(\pi - \vartheta) + \dots = \\ &= A_1 \sin \vartheta - [A_2 \sin 2\vartheta + A_3 \sin 3\vartheta - \dots] \end{aligned}$$

Складаючи цей вираз із виразом (21), знайдемо, що

$$2\Gamma(x) = 2A_1 \sin \vartheta + 2A_3 \sin 3\vartheta + 2A_5 \sin 5\vartheta + \dots$$

звідки

$$\Gamma(x) = A_1 \sin \vartheta + A_3 \sin 3\vartheta + A_5 \sin 5\vartheta + \dots \quad (22)$$

<sup>1</sup> Див. Я. Безікович і А. Фрідман, „Приближенные вычисления“, вид. 2, 1930, стор. 152—165.

Спинімось тепер на іншому важливому питанні: нехай циркуляція здана розкладом (22), де сучинники  $A_1, A_3 \dots$  відомі; треба знайти функцію  $v(x)$ .

Покладаючи

$$\xi = \frac{l}{2} \cos \varphi$$

і зберігаючи позначення

$$x = \frac{l}{2} \cos \vartheta$$

знайдемо, що

$$\Gamma(\xi) = A_1 \sin \varphi + A_3 \sin 3\varphi + A_5 \sin 5\varphi + A_7 \sin 7\varphi + \dots,$$

$$\frac{d\Gamma}{d\xi} d\xi = d\Gamma(\xi) = A_1 \cos \varphi + 3A_3 \cos 3\varphi + 5A_5 \cos 5\varphi + 7A_7 \cos 7\varphi + \dots, \quad \{ d\}$$

$$\frac{1}{x - \xi} = \frac{2}{l} \frac{1}{\cos \vartheta - \cos \varphi},$$

так що на підставі формул (19)

$$v(x) = \frac{-1}{2\pi l} \left\{ A_1 \int_0^{\pi} \frac{\cos \varphi \cdot d\varphi}{\cos \vartheta - \cos \varphi} + 3A_3 \int_0^{\pi} \frac{\cos 3\varphi \cdot d\varphi}{\cos \vartheta - \cos \varphi} + \right. \\ \left. + 5A_5 \int_0^{\pi} \frac{\cos 5\varphi \cdot d\varphi}{\cos \vartheta - \cos \varphi} + \dots \right\}.$$

Обчислімо тому вирази

$$I_k = \int_0^{\pi} \frac{\cos k\varphi \cdot d\varphi}{\cos \vartheta - \cos \varphi}.$$

Подаймо  $I_k$  у формі

$$I_k = \int_0^{\pi} \frac{\cos k\vartheta \cdot d\varphi}{\cos \varphi - \cos \vartheta} + \int_0^{\pi} \frac{\cos k\varphi - \cos k\vartheta}{\cos \varphi - \cos \vartheta} d\varphi = \\ = \cos k\vartheta \int_0^{\pi} \frac{d\varphi}{\cos \varphi - \cos \vartheta} + \int_0^{\pi} \frac{\cos k\vartheta - \cos k\varphi}{\cos \vartheta - \cos \varphi} d\varphi,$$

де другий інтеграл беруть уже в звичайному розумінні, а не тільки головну вартість, бо в ньому підінтегральна функція на безкінечність обертається.

Знайдімо перший член написаної формулі. Для цього скористаймося легко перевірюваного спiввiдношення

$$\frac{d}{d\varphi} \left\{ \frac{1}{\sin \vartheta} \ln \frac{\sin \frac{\varphi - \vartheta}{2}}{\sin \frac{\varphi + \vartheta}{2}} \cdot C \right\} = \frac{1}{\cos \vartheta - \cos \varphi},$$

$C$  — довільна стала. Із цього випливає, що<sup>1</sup>

$$\begin{aligned} \int_0^\pi \frac{d\varphi}{\cos \vartheta - \cos \varphi} &= \lim_{\varepsilon \rightarrow 0} \left[ \int_0^{\vartheta-\varepsilon} \frac{d\varphi}{\cos \vartheta - \cos \varphi} + \int_{\vartheta+\varepsilon}^\pi \frac{d\varphi}{\cos \vartheta - \cos \varphi} \right] = \\ &= \frac{1}{\sin \vartheta} \lim_{\varepsilon \rightarrow 0} \left\{ \ln \frac{\sin \frac{\vartheta-\varphi}{2}}{\sin \frac{\vartheta+\varphi}{2}} \Big|_0^{\vartheta-\varepsilon} + \ln \frac{\sin \frac{\varphi-\vartheta}{2}}{\sin \frac{\varphi+\vartheta}{2}} \Big|_{\vartheta+\varepsilon}^\pi \right\} = \\ &= \frac{1}{\sin \vartheta} \lim_{\varepsilon \rightarrow 0} \left\{ \ln \frac{\sin \frac{\varepsilon}{2}}{\sin \left( \vartheta - \frac{\varepsilon}{2} \right)} + \ln \frac{\sin \left( \vartheta + \frac{\varepsilon}{2} \right)}{\sin \frac{\varepsilon}{2}} \right\} = \\ &= \frac{1}{\sin \vartheta} \lim_{\varepsilon \rightarrow 0} \ln \frac{\sin \left( \vartheta + \frac{\varepsilon}{2} \right)}{\sin \left( \vartheta - \frac{\varepsilon}{2} \right)} = 0. \end{aligned}$$

Отже,

$$I = \int_0^\pi \frac{\cos k\vartheta - \cos k\varphi}{\cos \vartheta - \cos \varphi} d\varphi, \quad (24)$$

щодо цього інтегралу, то він дорівнює

$$I_k = \pi \frac{\sin k\vartheta}{\sin \vartheta}. \quad (25)$$

Справді, коли  $k=1$

$$I_1 = \int_0^\pi \frac{\cos \vartheta - \cos \varphi}{\cos \vartheta - \cos \varphi} d\varphi = \int_0^\pi d\varphi = \pi = \pi \frac{\sin \vartheta}{\sin \vartheta};$$

коли  $k=2$

$$\begin{aligned} I_2 &= \int_0^\pi \frac{\cos 2\vartheta - \cos 2\varphi}{\cos \vartheta - \cos \varphi} d\varphi = 2 \int_0^\pi \frac{\cos^2 \vartheta - \cos^2 \varphi}{\cos \vartheta - \cos \varphi} d\varphi = \\ &= 2 \int_0^\pi (\cos \vartheta + \cos \varphi) d\varphi = 2\pi \cos \vartheta + 2 \sin \varphi \Big|_0^\pi = 2\pi \cos \vartheta = \pi \frac{\sin 2\vartheta}{\sin \vartheta}. \end{aligned}$$

Розкладаючи  $\cos k\vartheta$  і  $\cos k\varphi$  за степенями  $\cos \vartheta$  і  $\cos \varphi$  і ділячи різницю  $\cos k\vartheta - \cos k\varphi$  на різницю  $\cos \vartheta - \cos \varphi$ , можна переконатися в правдивості формул (25) при будь-якому цілому  $k$ .

Отже, ми прийшли до такого важливого наслідку: якщо циркуляція по розмежовані крила розподілена за законом

$$\Gamma(x) = A_1 \sin \vartheta + A_3 \sin 3\vartheta + A_5 \sin 5\vartheta + A_7 \sin 7\vartheta + \dots \quad (22)$$

де

$$x = \frac{l}{2} \cos \vartheta,$$

<sup>1</sup> У першому з інтегралів правої частини за сталу  $C$  можна взяти  $-1$ , а в другому  $+1$ .

то величина сторчової швидкості  $v(x)$  подається у формі

$$v(x) = \frac{1}{2l \sin \vartheta} \left\{ A_1 \sin \vartheta + 3A_3 \sin 3\vartheta + 5A_5 \sin 5\vartheta + 7A_7 \sin 7\vartheta + \dots \right\} \quad (22)$$

Такий наслідок дозволяє визначити сторчову додаткову швидкість якщо циркуляцію задано розкладом у тригонометричний ряд.

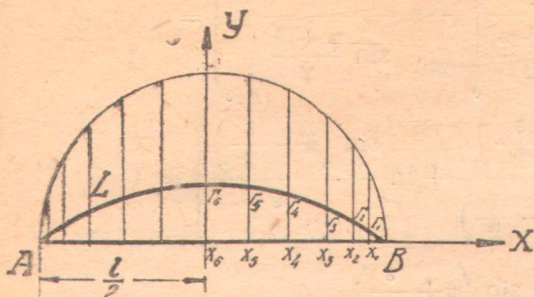


Рис. 108.

що крива  $L$ , симетрична на підставі (20) щодо осі  $Y$ , є закон розподілу циркуляції по розмахові. Із точки  $O$ , як із центру, описано обвід колом радіусом  $\frac{l}{2}$  і розділімо верхню його половину на 12 частин (може

було б ділити на більше число частин, щоб мати кращі наближення, але ділення на 12 частин дає задовільні наслідки). Спускаючи з точок ділення нормальні на вісь  $X$ , матимемо ряд точок:

$$\begin{aligned} x_1 &= \frac{l}{2} \cos 15^\circ, & x_2 &= \frac{l}{2} \cos 30^\circ, & x_3 &= \frac{l}{2} \cos 45^\circ, \\ x_4 &= \frac{l}{2} \cos 60^\circ, & x_5 &= \frac{l}{2} \cos 75^\circ, & x_6 &= \frac{l}{2} \cos 90^\circ. \end{aligned}$$

Знайдімо вартість циркуляції в цих точках безпосередньо з рисунку (або за допомогою таблиці) і позначмо їх відповідно через

$$\Gamma_1, \Gamma_2, \Gamma_3, \Gamma_4, \Gamma_5, \Gamma_6.$$

Через ці величини сучинники  $A_1, A_2, \dots, A_{11}$  визначаються такими формулами:<sup>1</sup>

$$\begin{aligned} 3A_1 &= \Gamma_1 \sin 15^\circ + \Gamma_2 \sin 30^\circ + \Gamma_3 \sin 45^\circ + \Gamma_4 \sin 60^\circ + \Gamma_5 \sin 75^\circ + \\ &\quad + \frac{1}{2} \Gamma_6 \sin 90^\circ; \end{aligned}$$

$$3A_3 = \Gamma_1 \sin 45^\circ + \Gamma_2 \sin 90^\circ + \Gamma_3 \sin 45^\circ - \Gamma_5 \sin 45^\circ - \frac{1}{2} \Gamma_6 \sin 90^\circ,$$

$$\begin{aligned} 3A_5 &= \Gamma_1 \sin 75^\circ + \Gamma_2 \sin 30^\circ - \Gamma_3 \sin 45^\circ - \Gamma_4 \sin 60^\circ + \Gamma_5 \sin 15^\circ + \\ &\quad + \frac{1}{2} \Gamma_6 \sin 90^\circ; \end{aligned}$$

$$\begin{aligned} 3A_7 &= \Gamma_1 \sin 75^\circ - \Gamma_2 \sin 30^\circ - \Gamma_3 \sin 45^\circ + \Gamma_4 \sin 60^\circ + \Gamma_5 \sin 15^\circ - \\ &\quad - \frac{1}{2} \Gamma_6 \sin 90^\circ; \end{aligned} \quad (27)$$

<sup>1</sup> Див. зазначену раніш книжку Я. Безіковича й А. Фрідмана.

Якщо циркуляцію задано графічно (або, що те саме, за допомогою таблиці вартостей в різних перекроях), то для того, щоб визначити сторчову швидкість, треба спочатку приближено подати циркуляцію за допомогою метод гармонійного аналізу у формі суми (22), потім уже скористатися відповідними наслідками.

Нехай відтинок  $AB$  є розмежуваним крила (рис. 108); будемо відкладати циркуляцію по осі  $Y$  так

$$3A_8 = \Gamma_1 \sin 45^\circ - \Gamma_2 \sin 90^\circ + \Gamma_3 \sin 45^\circ - \Gamma_5 \sin 45^\circ + \frac{1}{2} \Gamma_6 \sin 90^\circ,$$

$$3A_{11} = \Gamma_1 \sin 15^\circ - \Gamma_2 \sin 30^\circ + \Gamma_3 \sin 45^\circ - \Gamma_4 \sin 60^\circ + \Gamma_5 \sin 75^\circ - \frac{1}{2} \Gamma_6 \sin 90^\circ.$$

Уважно дослідивши ці формули, бачимо, що обчисляти зручно за такою схемою:

|                                      |            |                        |                                  |                                   |   |                        |             |
|--------------------------------------|------------|------------------------|----------------------------------|-----------------------------------|---|------------------------|-------------|
| $\frac{1}{3} \sin 15^\circ = 0,0863$ | $\Gamma_1$ |                        |                                  |                                   |   | $\Gamma_5$             |             |
| $\frac{1}{3} \sin 30^\circ = 0,1667$ |            | $\Gamma_2$             |                                  |                                   |   |                        | $\Gamma_2$  |
| $\frac{1}{3} \sin 45^\circ = 0,2357$ | $\Gamma_3$ |                        | $\Gamma_1 + \Gamma_3 - \Gamma_5$ |                                   |   | $-\Gamma_3$            |             |
| $\frac{1}{3} \sin 60^\circ = 0,2887$ |            | $\Gamma_4$             |                                  |                                   |   |                        | $-\Gamma_4$ |
| $\frac{1}{3} \sin 75^\circ = 0,3220$ | $\Gamma_5$ |                        |                                  |                                   |   | $\Gamma_1$             |             |
| $\frac{1}{3} \sin 90^\circ = 0,3333$ |            | $\frac{1}{2} \Gamma_6$ |                                  | $\Gamma_2 - \frac{1}{2} \Gamma_6$ |   | $\frac{1}{2} \Gamma_6$ |             |
|                                      | I          | II                     | I                                | II                                | I | II                     |             |
| Суми I + II                          |            | $A_1$                  |                                  | $A_3$                             |   | $A_5$                  |             |
| Різниці I - II                       |            | $A_{11}$               |                                  | $A_9$                             |   | $A_7$                  |             |

Визначивши сучинники  $A_1, A_3, \dots$ , користуємося потім, як уже говорилося раніше, формуловою (26), що дає величину сторчової швидкості.

#### § 4. Munk'ова задача

Пригадаймо формулі (14), (15) для підіймальної сили й індуктивного опору:

$$P = \rho V_0 \int_{-\frac{l}{2}}^{\frac{l}{2}} \Gamma(x) dx \quad (14)$$

$$Q = \rho \int_{-\frac{l}{2}}^{\frac{l}{2}} \Gamma(x) v(x) dx, \quad (15)$$

що ми їх мали в § 2 цього розділу.

Нехай розподіл циркуляції  $\Gamma(x)$  по розмахові крила дає розклад:

$$\Gamma(x) = A_1 \sin \theta + A_3 \sin 3\theta + A_5 \sin 5\theta + \dots \quad (22)$$

$$x = \frac{l}{2} \cos \theta.$$

Тоді для сторчової швидкості  $v(x)$  матимемо розклад:

$$v(x) = \frac{1}{2l \sin \vartheta} \{A_1 \sin \vartheta + 3A_3 \sin 3\vartheta + 5A_5 \sin 5\vartheta + \dots\}. \quad (25)$$

Щоб обчислити підіймальну силу й індуктивний опір, залишається підставити наведені вирази для  $\Gamma(x)$  і  $v(x)$  у формули (14) і (15) і зробити інтегрування.

Щоб полегшити інтегрування, зазначмо, що

$$\int_0^\pi \sin k\vartheta \cdot \sin m\vartheta \cdot d\vartheta = \frac{1}{2} \int_0^\pi \{\cos(m-k)\vartheta - \cos(m+k)\vartheta\} d\vartheta.$$

Тому при  $k \neq m$

$$\int_0^\pi \sin k\vartheta \cdot \sin m\vartheta \cdot d\vartheta = 0 \quad (26)$$

і при  $k=m$

$$\int_0^\pi \sin^2 k\vartheta \cdot d\vartheta = \frac{\pi}{2}. \quad (27)$$

Користуючись із формул (14) і (15), легко знайдемо, що

$$P = \rho V_0 \frac{l}{2} \int_0^\pi \{A_1 \sin \vartheta + A_3 \sin 3\vartheta + \dots\} \sin \vartheta d\vartheta = \frac{\pi}{4} \rho V_0 l A_1 \quad (30)$$

$$\begin{aligned} Q &= \rho \frac{l}{2} \frac{1}{2l} \int_0^\pi \{A_1 \sin \vartheta + A_3 \sin 3\vartheta + \dots\} \{A_1 \sin \vartheta + 3A_3 \sin 3\vartheta + \dots\} d\vartheta = \\ &= \frac{\pi \rho}{8} \{A_1^2 + 3A_3^2 + 5A_5^2 + \dots\}. \end{aligned} \quad (31)$$

Справді, помножуючи вираз  $A_1 \sin \vartheta + 3A_3 \sin 3\vartheta + \dots$  на вираз  $A_1 \sin \vartheta + A_3 \sin 3\vartheta + \dots$ , матимемо члени виду  $3A_1 A_3 \sin \vartheta \cdot \sin 3\vartheta, \dots$  інтеграл яких на підставі (28) дорівнює нулевій член

$$A_1^2 \sin^2 \vartheta + 3A_3^2 \sin^2 3\vartheta + 5A_5^2 \sin^2 5\vartheta + \dots,$$

що після інтегрування дає

$$\frac{\pi}{2} \{A_1^2 + 3A_3^2 + 5A_5^2 + \dots\}.$$

З цього видно, що, знаючи розклад циркуляції в тригонометричному ряді, можна визначити підіймальну силу за формулою (30) і індуктивний опір за формулою (31).

Визначаючи  $A_1$  через  $P$  формулою (30), можемо подати індуктивний опір  $Q$  у формі:

$$Q = \frac{2}{\pi} \frac{P^2}{\rho l^2 V_0^2} + \frac{\pi \rho}{8} \left( 3A_3^2 + 5A_5^2 + \dots \right),$$

звідки

$$Q - \frac{2}{\pi} \frac{P^2}{\rho l^2 V_0^2} = \frac{\pi \rho}{8} \left( 3A_3^2 + 5A_5^2 + \dots \right).$$

А що права частина цієї рівності додатна при будь-яких варостях сучинників  $A_3, A_5, \dots$ , то

$$Q \geqslant \frac{2}{\pi} \frac{P^2}{\rho l^2 V_0^2}, \quad (32)$$

при чому знак рівності в цій формулі буває тільки тоді, коли всі сучинники  $A_8$ ,  $A_5$ ,  $A_7$ ... дорівнюють нулеві. Звідси маємо такий дуже важливий наслідок: при заданій підіймальній силі  $P$  крило має найменший індуктивний опір тоді, коли закон розподілу циркуляції вздовж розмаху крила задається формулою

$$\Gamma = \Gamma(x) = A_1 \sin \vartheta, \quad (33)$$

де

$$x = \frac{l}{2} \cos \vartheta.$$

Виключаючи з цих співвідношень допоміжний кут  $\vartheta$ , матимемо:

$$\frac{x^2}{l^2} + \frac{\Gamma^2}{A_1^2} = 1. \quad (34)$$

Це співвідношення показує, що найменший індуктивний опір при даній підіймальній силі буде тоді, коли циркуляція розподілена вздовж розмаху крила за законом еліпса (рис. 109).

Цей наслідок має назву Munk'ової теореми іменем американського вченого, що знайшов його.<sup>1</sup>

Наведімо ряд формул, що стосуються до еліптичного розподілу циркуляції: із (34) маємо, позначаючи  $A_1$  через  $\Gamma_0$ :

$$\Gamma(x) = \Gamma_0 \sqrt{1 - \frac{4x^2}{l^2}}, \quad (35)$$

підіймальна сила дорівнює

$$P = \frac{\pi}{4} \rho V_0 l \Gamma_0, \quad (36)$$

індуктивний опір дорівнює<sup>2</sup>

$$Q_i = \frac{2}{\pi} \frac{P^2}{\rho l^2 V_0^2}, \quad (37)$$

додаткова сторчова швидкість під крилом дорівнює

$$v(x) = \frac{\Gamma_0}{2l} = \frac{2P}{\pi \rho V_0 l^2}. \quad (38)$$

Звернімо увагу на те, що при еліптичному розподілі циркуляції вздовж розмаху додаткова сторчова швидкість під крилом стала (те саме, очевидно, стосується й до скосу потоку).

## § 5. Розподіл циркуляції навколо заданого крила

У цьому параграфі ми будемо розв'язувати таку основну при проектуванні крила проблему: дано крило, знайти закон розподілу циркуляції вздовж його розмаху.

Щоб не ускладнити обчислень, ми розглянемо той випадок, коли профілі крила по всіх перекроях подібні й усі елементи крила мають одинаковий геометричний кут атаки (тобто крило не перекручене).

Тому що крило задано, то форма його в пляні нам відома і тому

<sup>1</sup> Munk, Isoperimetrische Aufgaben aus der Theorie des Fluges (Dissertation; Göttingen, 1919).

<sup>2</sup> Тут замість  $Q$  пишемо  $Q_i$ .

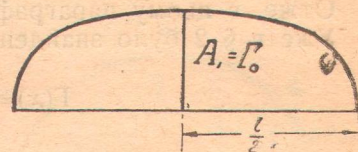


Рис. 109.

можна вважати за відому глибину крила в кожному перекрої, тобто глибину в функції від  $x$ :

$$t = t(x).$$

Так само можна вважати за відоме положення першої осі профілю відносно якої ми відлічуємо геометричний кут атаки крила. Візьмемо якийсь елемент нашого крила. Якби цей елемент був частиною безкрайньо-довгого крила, як зазначалося в § 1, циркуляція навколо цього елемента мала б вираз

$$\Gamma = kt\alpha_1 V_0.$$

При цьому величина  $k$ , що характеризує профіль, в ідеальному течії точно дорівнювала б  $\pi$ , але в реальних течивах вона завжди менша від  $\pi$  і залежить від профілю (але не залежить від кута атаки).

Тому, припускаючи, що крило задано, ми можемо вважати  $k$  за відоме число. Далі ми спинімося на питанні про фактичне визначення  $k$  для кожного профілю. Там таки ми побачимо, яку роль відіграє при визначенні  $k$  експеримент.

Отже, в цьому параграфі ми вважатимемо число  $k$  за задане.

Уже в § 2 було знайдено основне рівняння:

$$\Gamma(x) = kt(x)V_0 \left[ \alpha_1 - \frac{v(x)}{V_0} \right], \quad (39)$$

що за його допомогою знаходимо закон розподілу циркуляції навколо крила при кожному куті атаки  $\alpha_1$ . Наше завдання — розв'язати це рівняння. Точно розв'язати його не можна, але в цьому й нема жадної потреби. Ми дамо наблизену методу розв'язувати це рівняння за Trefftz'ом.<sup>1</sup>

Для цього нагадаймо застосовуваний уже в нас розклад циркуляції в тригонометричний ряд:

$$\Gamma(x) = A_1 \sin \vartheta + A_3 \sin 3\vartheta + A_5 \sin 5\vartheta + A_7 \sin 7\vartheta, \quad (22)$$

де

$$x = \frac{1}{2} \cos \vartheta.$$

Як ми бачили, з цієї формули випливає, що

$$v(x) = \frac{1}{2l \sin \vartheta} \left\{ A_1 \sin \vartheta + 3A_3 \sin 3\vartheta + 5A_5 \sin 5\vartheta + 7A_7 \sin 7\vartheta \right\}.$$

Тому рівняння (39) матиме форму:

$$\begin{aligned} & A_1 \sin 3\vartheta + A_3 \sin 3\vartheta + A_5 \sin 5\vartheta + A_7 \sin 7\vartheta = \\ & = kt(x)V_0 \alpha_1 - \frac{kt(x)}{2l \sin \vartheta} \left[ A_1 \sin \vartheta + 3A_3 \sin 3\vartheta + 5A_5 \sin 5\vartheta + 7A_7 \sin 7\vartheta \right]. \end{aligned} \quad (40)$$

Взявши в розкладі функції  $\Gamma(x)$  тільки чотири члени, ми, розуміється, не розраховуємо на те, що рівняння (40) можна зробити тотожністю, вибравши відповідно сучинники  $A_1, A_3, A_5, A_7$ .

Для цього треба було б, взагалі кажучи, в розкладі функції  $\Gamma(x)$  взяти безкрайньо багато членів. Ми можемо розпорядитися сучинниками  $A_1, A_3, A_5$  і  $A_7$  тільки так, щоб рівність (40) була точна тільки в кількох перекроях нашого крила.

При цьому чим більше членів візьмемо в розкладі функції  $\Gamma(x)$ , тим у більшому числі перекроїв розмаху можна зробити рівність (40) точною, і тим точніше буде наше наблизення. Досвід показав, що досить брати

<sup>1</sup> Trefftz, Prandtl'sche Tragflächen- und Propeller Theorie (Zeitschrift für angewandte Mathematik und Mechanik, Bd. 1, N. 3, 1921, S. 206 — 218).

ек ми ї зробили, за Trefftz'ом тільки 4 члени. Як перекрої, де рівність (40) повинна бути точна, виберемо ті, для яких

$$\vartheta = 22^\circ 30'; 45^\circ; 67^\circ 30'; 90^\circ. \quad (41_1)$$

Тоді на підставі симетрії рівність (40) спрвджуватиметься також і в тих перекроях, для яких

$$\vartheta = 112^\circ 30'; 135^\circ; 157^\circ 30^\circ.$$

Підставляючи ці вартості в рівняння (40), ми повинні й функцію  $t(x)$  обчислити в відповідних точках, тобто при

$$x = \frac{l}{2} \cos 22^\circ 30'; \frac{l}{2} \cos 45^\circ; \frac{l}{2} \cos 67^\circ 30'; \frac{l}{2} \cos 90^\circ. \quad (41)$$

Щоб полегшити обчислення, пригадаймо, що точки (41) можна мати, проекуючи вершки правильного многокутника на діаметр, як показує рис. 110.

Умовмось, як це зроблено на рисунку, позначати через  $t_1, t_2, t_3, t_4$  глибину крила в перекроях, яким відповідають абсциси (41). Щоб полегшити обчислення, введімо такі позначення:

$$\begin{aligned} A_1 &= 2lk\alpha_1 V_0 B_1, \\ A_3 &= 2lk\alpha_1 V_0 B_3, \\ A_5 &= 2lk\alpha_1 V_0 B_5, \\ A_7 &= 2lk\alpha_1 V_0 B_7; \end{aligned} \quad (42)$$

$$\frac{t(x)}{l} = \mu(x); \quad (43)$$

$$\mu(x_1) = \mu_1; \mu(x_2) = \mu_2; \mu(x_3) = \mu_3; \mu(x_4) = \mu_4. \quad (44)$$

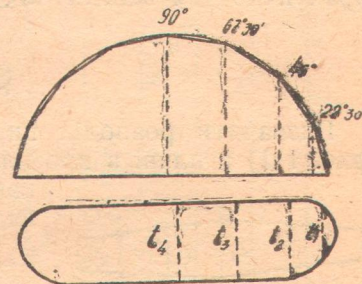


Рис. 110.

Тоді наше рівняння матиме форму:

$$B_1 \sin \vartheta + B_3 \sin 3\vartheta + B_5 \sin 5\vartheta + B_7 \sin 7\vartheta =$$

$$= \frac{1}{2} \mu(x) - \frac{k\mu(x)}{2 \sin \vartheta} [B_1 \sin \vartheta + 3B_3 \sin 3\vartheta + 5B_5 \sin 5\vartheta + 7B_7 \sin 7\vartheta] \quad (45)$$

50

$$B_1(1 - \cos 2\vartheta) + B_3(\cos 2\vartheta - \cos 4\vartheta) + B_5(\cos 4\vartheta - \cos 6\vartheta) + \\ - B_7(\cos 6\vartheta - \cos 8\vartheta) = \mu(x) \cdot \sin \vartheta - k\mu(x) [B_1 \sin \vartheta + 3B_3 \sin 3\vartheta + 5B_5 \sin 5\vartheta + 7B_7 \sin 7\vartheta].$$

Підставляючи замість  $\vartheta$  вартості (41), матимемо остаточно таку систему для визначення невідомих сучинників  $B_1, B_3, B_5, B_7$ :

$$\begin{aligned} B_1(0,293 + 0,383k\mu_1) + B_3(0,707 + 2,772k\mu_1) + B_5(0,707 + 4,619k\mu_1) + \\ + B_7(0,293 + 2,679k\mu_1) = 0,383\mu_1; \end{aligned} \quad (46)$$

$$\begin{aligned} B_1(1 + 0,707k\mu_2) + B_3(1 + 2,121k\mu_2) + B_5(-1 - 3,536k\mu_2) + \\ + B_7(-1 - 4,950k\mu_2) = 0,707\mu_2; \end{aligned}$$

$$\begin{aligned} B_1(1,707 + 0,924k\mu_3) + B_3(-0,707 - 1,149k\mu_3) + B_5(-0,707 - 1,913k\mu_3) + \\ + B_7(1,707 + 6,467k\mu_3) = 0,924\mu_3; \end{aligned}$$

$$B_1(2 + k\mu_4) + B_3(-2 - 3k\mu_4) + B_5(2 + 5k\mu_4) + B_7(-2 - 7k\mu_4) = \mu_4.$$

Звернімо увагу на таку властивість цієї системи:

1) В рівняння системи не входить кут атаки  $\alpha_1$  і швидкість  $V_0$ .

2) Розмах і глибина крила в різних перекроїях входять у формі ви-  
ношень:

$$\frac{t_1}{l} = \mu_1; \quad \frac{t_2}{l} = \mu_2; \quad \frac{t_3}{l} = \mu_3; \quad \frac{t_4}{l} = \mu_4.$$

Тому для двох геометрично подібних крил системи однакові.

Розв'язуючи наведену систему, ми знайдемо величини  $B_1, B_3, B_5, B_7$ , а, значить, якусь функцію

$$\Phi(x) = B_1 \sin \theta + B_3 \sin 3\theta + B_5 \sin 5\theta + B_7 \sin 7\theta,$$

що на підставі зазначених властивостей системи не залежить від абсолютнох розмірів крила, а також від швидкості потоку та кута атаки.

Знайшовши  $\Phi(x)$ , визначімо потім циркуляцію  $\Gamma(x)$  у формі

$$\Gamma(x) = 2lk\alpha_1 V_0 \Phi(x),$$

тобто матимемо розв'язання досліджуваної задачі для будь-якої швидкості  $V_0$  і для будь-якого кута атаки  $\alpha_1$ , аби тільки він був досить мал (практично для всіх літніх кутів атаки).

## § 6. Приклад<sup>1</sup>

Визначити розподіл циркуляції по розмахові крила трапеційального (рис. 111) в пляні з профілем № 389 Гетінгенської лабораторії. При цьому вартість сучинника  $k$  для досліджуваного профілю задано:

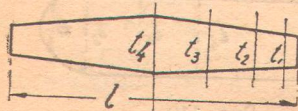


Рис. 111.

$$k = 2,76.$$

З рисунка знаходимо вартості величини  $\mu$ :

$$\mu_1 = 0,120, \quad \mu_2 = 0,139,$$

$$\mu_3 = 0,167, \quad \mu_4 = 0,200.$$

Підставляючи їх, а також величину  $k$  в систему (46), матимемо:

$$0,420B_1 + 1,625B_3 + 2,237B_5 + 1,180B_7 = 0,046,$$

$$1,271B_1 + 1,814B_3 - 2,356B_5 - 2,900B_7 = 0,098,$$

$$2,132B_1 - 1,236B_3 - 1,590B_5 + 4,687B_7 = 0,154,$$

$$2,552B_1 - 3,657B_3 + 4,760B_5 - 5,862B_7 = 0,200.$$

Розв'язуючи цю систему, знайдемо:

$$B_1 = 0,077, \quad B_3 = 0,0042,$$

$$B_5 = 0,0030, \quad B_7 = 0,00001,$$

так що для циркуляції матимемо вираз:

$\Gamma = 2lk\alpha_1 V_0 (0,077 \sin \theta + 0,0042 \sin 3\theta + 0,0030 \sin 5\theta + 0,00001 \sin 7\theta);$   
на підставі формул (30) і (31) бачимо, що для нашого крила

$$P = \frac{\pi}{4} \rho V_0 l \cdot 2lk\alpha_1 V_0 \cdot 0,077 = 0,334 \rho l^2 V_0^2 \alpha_1,$$

$$Q_i = \frac{\pi \rho}{8} 4 l^2 k \alpha_1^2 V_0^2 (0,077^2 + 3 \cdot 0,0042^2 + 5 \cdot 0,0030^2) = 0,0721 \rho l^2 V_0^2 \alpha_1^2.$$

<sup>1</sup> Пор. А. В. Чесалов, „Построение поляры Лилиенталя монопланного крила произво-  
ной формы“, „Труды ЦАГИ“, вип. 42, стор. 64.

Звідси знайдемо, що для досліджуваного крила<sup>1</sup>

$$C_y = \frac{P}{\rho S V_0^2} = 0,0372 \alpha_1^0, \quad C_i = \frac{Q_i}{\rho S V_0^2} = 0,101 C_y^2.$$

Ці наслідки дозволяють збудувати криві для  $C_y$  і  $C_i$  для нашого крила (розуміється, правильні тільки в межах невеликих кутів атаки), що й зроблено на рис. 112.

## § 7. Визначення сучинника $k$

Як уже зазначалося раніше, сучинник  $k$  у формулі

$$\Gamma = k V_0 t \alpha_1$$

для безконечно-довгого крила (де  $\alpha_1$  — кут атаки в радіянах, відлічуваний від напряму першої осі), коли нема тертя, дорівнював би  $\pi$ , а в реальних течивах через тертя завжди менший від  $\pi$ .

Постає питання, як можна визначити цей сучинник для будь-якого профілю, маючи наслідки продування якогось крила конечних розмірів з цим профілем. Звичайно, в лабораторіях випробовують крила прямокутні в пляні, для яких

$$\mu_1 = \mu_2 = \mu_3 = \mu_4 = \frac{t}{l} = \frac{1}{\lambda},$$

де  $\lambda$  — відношення розмаху прямокутнього крила до глибини.

На підставі зауваження, зробленого в § 5, циркуляція для крила конечного розмаху подається формулою:

$$\Gamma(x) = 2 l k \alpha_1 V_0 \{B_1 \sin \vartheta + B_3 \sin 3\vartheta + B_5 \sin 5\vartheta + B_7 \sin 7\vartheta\}, \quad (47)$$

де  $B_1, B_3, B_5, B_7$  — сучинники, що залежать від форми крила в пляні й від сучинника  $k$ , але не залежать від кута атаки, від швидкості й від абсолютнох розмірів крила.

Із (47) виходить, що підіймальна сила  $P$  для крила конечного розмаху подається формулою:

$$P = \rho V_0 \int_{-\frac{l}{2}}^{\frac{l}{2}} \Gamma(x) dx = \frac{\pi}{2} k B_1 \rho \alpha_1 l^2 V_0^2, \quad (48)$$

де  $B_1$  залежить тільки від  $k$  й від форми крила, що у випадку прямокутнього пляну цілком характеризує відносний розмах  $\lambda$ .

<sup>1</sup> Тут кут атаки беруть уже в градусах, але відлічують, як і раніше, від напряму першої осі; в досліджуваному випадку подовження  $\lambda = \frac{l^2}{S}$  дорівнює 6,37. Згідно з § 5 розділу V в наведених формулах замість величин  $P$  та  $Q_i$  введено абстрактні сучинники  $C_y$  та  $C_i$ .

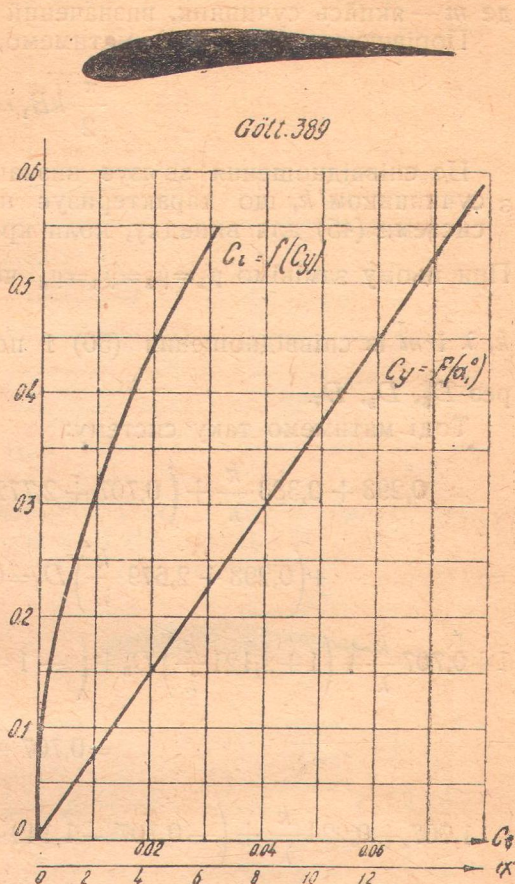


Рис. 112.

Крім того, в наслідок продувань прямокутнього крила для підйманої сили  $P$  маємо вираз<sup>1</sup>

$$P = m \rho \alpha_1 t l V_0^2,$$

де  $m$  — якийсь сучинник, визначений експериментально.

Порівнюючи (48) і (49), матимемо, що

$$\frac{\pi}{2} k B_1 \lambda = m. \quad (50)$$

Це співвідношення зв'язує визначувану експериментально величину з сучинником  $k$ , що характеризує профіль крила. Скористаймося тепер системи (45) для випадку, коли крило в пляні має прямокутну форму. При цьому замінімо  $\mu_1 = \mu_2 = \mu_3 = \mu_4$  через  $\frac{1}{\lambda}$ ,  $B_1$  — його виразом через  $k$ ,  $\lambda$  і  $m$  із співвідношення (50) і позначмо відношення  $\frac{B_3}{B_1}$ ,  $\frac{B_5}{B_1}$ ,  $\frac{B_7}{B_1}$  че рез  $D_3$ ,  $D_5$ ,  $D_7$ .

Тоді матимемо таку систему:

$$\begin{aligned} 0,293 + 0,383 \frac{k}{\lambda} + \left( 0,707 + 2,772 \frac{k}{\lambda} \right) D_3 + \left( 0,707 + 4,619 \frac{k}{\lambda} \right) D_5 + \\ + \left( 0,293 + 2,679 \frac{k}{\lambda} \right) D_7 = 0,383 \frac{\pi}{2} \frac{k}{\lambda} \cdot \frac{\lambda}{m}; \\ 1 + 0,707 \frac{k}{\lambda} + \left( 1 + 2,121 \frac{k}{\lambda} \right) D_3 + \left( -1 - 3,536 \frac{k}{\lambda} \right) D_5 + \left( -1 - 4,950 \frac{k}{\lambda} \right) D_7 = \\ = 0,707 \frac{\pi}{2} \frac{k}{\lambda} \frac{\lambda}{m}, \\ 1,707 + 0,924 \frac{k}{\lambda} + \left( -0,707 - 1,149 \frac{k}{\lambda} \right) D_3 + \left( -0,707 - 1,913 \frac{k}{\lambda} \right) D_5 + \\ + \left( 1,707 + 6,467 \frac{k}{\lambda} \right) D_7 = 0,924 \frac{\pi}{2} \frac{k}{\lambda} \frac{\lambda}{m}, \\ 2 + \frac{k}{\lambda} + \left( -2 - 3 \frac{k}{\lambda} \right) D_3 + \left( 2 + 5 \frac{k}{\lambda} \right) D_5 + \left( -2 - 7 \frac{k}{\lambda} \right) D_7 = \frac{\pi}{2} \frac{k}{\lambda} \frac{\lambda}{m}. \end{aligned} \quad (51)$$

Виключаючи з цієї системи сучинники  $D_3$ ,  $D_5$ ,  $D_7$ , ми знайдемо залежність між величинами  $\frac{k}{\lambda}$  і  $\frac{\lambda}{m}$ .

Отже, знаючи  $k$ , ми зможемо через цю залежність обчислити при будь-якому відносному розмахові  $\lambda$  величину  $m$ , що цілком визначає за формулою (49) вираз для підйимальної сили прямокутнього крила з досліджуваним профілем та розмахом.

I, навпаки, знаючи  $m$  для прямокутнього крила з якимось розмахом, ми можемо, користаючись із зазначеної залежності, визначити сучинник  $k$ , що характеризує профіль крила. Для практичних завдань найзручніше на підставі системи (50) побудувати графік, що подає залежність між величинами  $\frac{m}{\lambda}$  і  $\frac{k}{\lambda}$ .

<sup>1</sup> Справедливий для не дуже великих кутів атаки.

Цей графік дано на рис. 113.

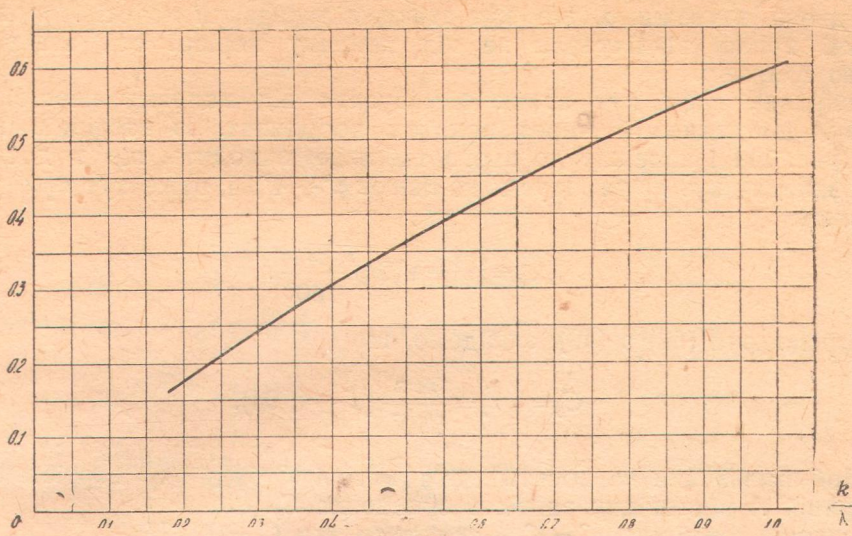


Рис. 113.

Щоб показати на прикладі, як користуватися з цього графіка, візьмімо профіль № 389 Гетінгенської лабораторії (рис. 114).

Таблиця 7.

Випроби профілю № 389

| $\alpha^\circ$ | $C_y$  | $C_x$   | $C_m$   |
|----------------|--------|---------|---------|
| -6             | -0,039 | 0,01505 | 0,02545 |
| -4,5           | 0,016  | 0,0084  | 0,042   |
| -3,1           | 0,0685 | 0,0072  | 0,053   |
| -1,6           | 0,1145 | 0,00775 | 0,064   |
| -0,1           | 0,163  | 0,00905 | 0,0775  |
| 1,3            | 0,216  | 0,0110  | 0,090   |
| 2,8            | 0,2685 | 0,01445 | 0,1025  |
| 4,3            | 0,3175 | 0,0188  | 0,114   |
| 5,7            | 0,367  | 0,0236  | 0,1255  |
| 8,7            | 0,4695 | 0,03615 | 0,154   |
| 11,6           | 0,5455 | 0,050   | 0,1695  |
| 14,6           | 0,577  | 0,069   | 0,1805  |
| 17,6           | 0,566  | 0,0975  | 0,1895  |

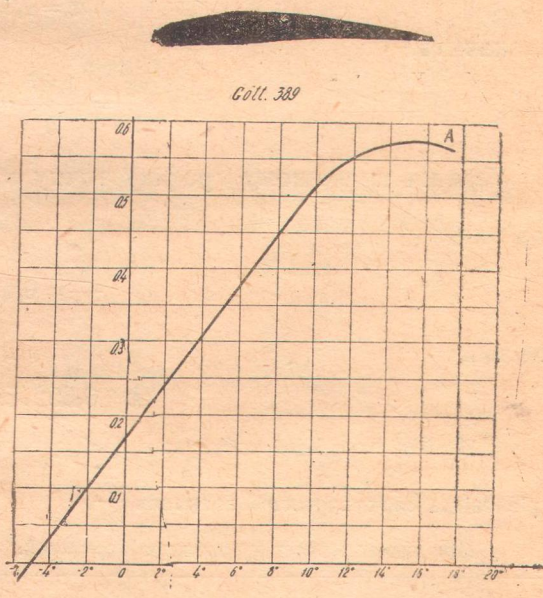


Рис. 114.

Крива А дає залежність величини  $C_y$  від кута атаки  $\alpha^\circ$ .  $C_y$  зв'язане з підіймальною силою формулою

$$P = C_y \rho SV_0^2, \quad (52)$$

при чому  $S = tl$  є площа крила.

Досліджувану криву одержано, випробовуючи крило з відносним розмахом 5. Отже,

$$\lambda = 5.$$

Насамперед, нам треба визначити для досліджуваного крила величину  $\alpha_1$ . Для цього зауважимо, що кут атаки, відкладаний по осі  $X$  при випробуванні крила, відлічували не від напряму першої осі, а від якого іншого напряму.

І справді, якби кут атаки відлічувати від напряму першої осі, крива  $A$  проходила б через початок координат. Із наслідків випробування (див. рис. 114 і належну до нього таблицю) виходить, що в досліджуваному випадку кут  $\alpha_1$  у градусах дорівнює  $\alpha^\circ + 4^\circ,94$ , отже кут  $\alpha_1$  в радіанах дорівнює

$$\alpha_1 = (\alpha^\circ + 4^\circ,94) \frac{\pi}{180}.$$

Порівнюючи (52) з (49), знайдемо, що

$$C_y = m \alpha_1 = \frac{m \pi}{180^\circ} (\alpha^\circ + 4^\circ,94).$$

Щоб визначити  $m$ , досить дати кутові  $\alpha^\circ$  будь-яку вартість і знайти по кривій  $A$  відповідну вартість сучинника  $C_y$ .

Уявивши, приміром,  $\alpha^\circ = 4^\circ,3$ , знайдемо, що  $C_y = 0,3175$ . Отже,

$$0,3175 = \frac{m\pi}{180} \cdot 9,24,$$

звідки

$$m = 1,97$$

і, значить,

$$\frac{m}{\lambda} = \frac{1,97}{5} = 0,394.$$

Уявивши по нашому графіку точку з ординатою  $\frac{m}{\lambda} = 0,394$ , знайдемо

для неї

$$\frac{k}{\lambda} = 0,552,$$

звідки

$$k = 0,552 \cdot 5 = 2,76.$$

Примітка. Щоб побудувати графік, систему (51) розв'язували щодо  $\frac{m}{\lambda}$  для рівновіддалених вартостей величини  $\frac{k}{\lambda}$ .

При цьому мали таку таблицю вартостей.

| $\frac{k}{\lambda}$ | 0,2   | 0,35  | 0,40  | 0,45  | 0,50  | 0,55  | 0,60  | 0,65  | 0,70  | 0,75  | 1     |
|---------------------|-------|-------|-------|-------|-------|-------|-------|-------|-------|-------|-------|
| $\frac{m}{\lambda}$ | 0,175 | 0,276 | 0,306 | 0,338 | 0,366 | 0,392 | 0,416 | 0,441 | 0,465 | 0,488 | 0,594 |

Дальша проста формула дає наближено залежність між  $\frac{m}{\lambda}$  та  $\frac{k}{\lambda}$  вартостей, що лежать в інтервалі від 0,2 до 1:

$$\frac{m}{\lambda} = 0,03 + 0,76 \frac{k}{\lambda} - 0,2 \frac{k^2}{\lambda^2}.$$

## § 8. Наближені формули для моноплянного крила

Пригадаймо формули (30) і (31) для підіймальної сили й індуктивного опору конечного крила:

$$P = \frac{\pi}{4} \rho A_1 l V_0^2, \quad (30)$$

$$Q_i = \frac{\pi \rho}{8} \left( A_1^2 + 3A_3^2 + 5A_5^2 + \dots \right). \quad (31)$$

На підставі формул (30) формулу (31) можна подати так:

$$Q_i = \frac{2P^2}{\pi \rho l^3 V_0^2} \left( 1 + 3 \frac{A_3^2}{A_1^2} + 5 \frac{A_5^2}{A_1^2} + 7 \frac{A_7^2}{A_1^2} + \dots \right). \quad (53)$$

У розділі V [формули (7) та (8)] зазначалося, що підіймальну силу й чоловий опір подають звичайно у формі:

$$P = C_y \rho S V_0^2, \quad (54)$$

$$Q = C_x \rho S V_0^2, \quad (55)$$

де  $S$  — площа крила, з чого ми вже користувалися їй в цьому розділі.

Чоловий опір складається з профільного опору  $Q_p$  та індуктивного опору  $Q_i$ , при чому профільний опір на підставі (5) дорівнює:

$$Q_p = C_p \rho S V_0^2. \quad (56)$$

Подамо через це індуктивний опір у формі

$$Q_i = C_i \rho S V_0^2 \quad (57)$$

назвімо  $C_i$  сучинником індуктивного опору.

Будемо, як й раніш, називати подовженням крила відношення квадрату розмаху до площині. Для прямокутнього крила подовження дорівнює відносному розмахові. Позначаючи подовження через  $\lambda$ , матимемо:

$$\lambda = \frac{l^2}{S}. \quad (58)$$

Скориставшись із формул (53), (54), (57), (58), матимемо, що

$$C_i = \frac{2}{\pi \lambda} N C_y^2, \quad (59)$$

де

$$N = 1 + 3 \frac{A_3^2}{A_1^2} + 5 \frac{A_5^2}{A_1^2} + 7 \frac{A_7^2}{A_1^2} + \dots$$

Для кожного крила  $N$  є певне число, що дорівнює одиниці, якщо циркуляція розподіляється вздовж розмаху крила за еліптичним законом; в інших же випадках  $N$  більше від одиниці.

Ми бачимо, що залежність сучинника  $C_i$  від сучинника  $C_y$  подає парабола; її звичайно звати параболою індуктивного опору. Тепер параболою індуктивного опору наносять завжди рядом з Lilenthal'овою кривою на схему, що показує наслідки продувань крила.

Тому що

$$Q = Q_i + Q_p,$$

значить,

$$C_x = C_i + C_p,$$

то, маючи Lilienthal'еву криву й параболю індуктивного опору, можемо простим обчисленням (див. рис. 115) визначити величину профільного опору залежно від кута атаки. Виявляється, що  $C_p$  на літніх кутах атаки майже не залежить від кута атаки цього ми потім скористаємося.

Звернімось тепер до формул (38) для крила з еліптичним законом розподілу циркуляції вздовж розмаху.

На підставі цієї формули можемо сказати, що поток коло такого крила стає уздовж розмаху й дорівнює відповідяних

$$\Delta \alpha_1 = \frac{v(x)}{V_0} = \frac{2P}{\pi \rho l^2 V_0^2}$$

На підставі (54) і (58) цей вираз можна подати в формі:

$$\Delta \alpha_1 = \frac{2C_{y0}SV_0^2}{\pi \rho l^2 V_0^2} = \frac{2}{\pi \lambda} C_y. \quad (60)$$

Якщо кут атаки подають у градусах, то формула (60) заміниться такою:

$$\Delta \alpha_1^\circ = 57^\circ,3 \frac{2}{\pi \lambda} C_y. \quad (61)$$

Переходячи від крила з еліптичним законом розподілу циркуляції вздовж розмаху крила до крила довільного, ми помічаємо, що тут спрощення ускладняється. Коли крило довільне, то скіс потоку міняється від однотипного перекрою крила до другого; і якщо ми схочемо зв'язати його з сучинником  $C_y$  так, як це робиться за формулою (61), то нам доведеться ввести якесь середню вартість скосу потоку вздовж розмаху крила.

Так, ми можемо для кожного крила покласти, що

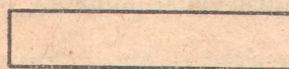
$$\Delta \alpha_1^\circ = 57^\circ,3 \frac{M}{\lambda} C_y,$$

де  $M$  — якийсь сучинник, характеристичний для крила,  $\lambda$  — подовження крила, а  $\Delta \alpha_1^\circ$  — середній скіс потоку вздовж крила в градусах.

Формули (59) і (62) багато важать у побудові Lilienthal'ової полярної кривої, про що ми будемо говорити в найближчому параграфі. Отже, для найуважніших форм крила треба визначити вартості сучинників  $N$  і  $M$ . На підставі сказаного раніше ці сучинники залежать від розподілу циркуляції по розмахові крила, що її також цілком визначає форма профілю крила, форма пляну та зміна кута установки крила вздовж розмаху. Знаючи ці чинники, можна визначити розподіл циркуляції вздовж розмаху, а значить, і сучинники  $N$  і  $M$ , методою, поданою в § 5 і 7.

Таким чином для випадку, коли кут установки крила профілю одинаковий в усіх перекроях, знайдемо такі наближені формулі:<sup>1</sup>

1) прямокутне крило з подовженням  $\lambda$  в межах  $\lambda=5 \div 8$  (рис. 116):



$$\Delta \alpha_1^\circ = 57^\circ,3 \frac{0,750}{\lambda} C_y,$$

$$C_i = \frac{0,670}{\lambda} C_y^2;$$

Рис. 116.

<sup>1</sup> Пор. Чесалов, стор. 66—67.

2) трапеzoїдальне крило для відношення

$$\frac{b}{b_0} = \frac{1}{3} : \frac{1}{2}$$

подовження в межах  $\lambda = 5 \div 8$  (рис. 117):

$$\Delta\alpha_1^\circ = 57^\circ,3 \frac{2}{\pi\lambda} C_y,$$

$$C_i = \frac{2}{\pi\lambda} C_y^2;$$



Рис. 117.

3) крило із скошеними кінцями для подовження в межах  $\lambda = 5 \div 8$  (рис. 118):



Рис. 118.

$$\Delta\alpha_1^\circ = 57^\circ,3 \frac{0,675}{\lambda} C_y,$$

$$C_i = \frac{2}{\pi\lambda} C_y^2;$$

4) крило з закругленими кінцями для подовження в межах  $\lambda = 5 \div 8$  (рис. 119):

$$\Delta\alpha_1^\circ = 57^\circ,3 \frac{0,730}{\lambda} C_y,$$

$$C_i = \frac{2}{\pi\lambda} C_y^2;$$

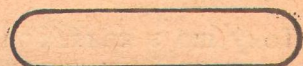


Рис. 119.

5) крило еліптичне (рис. 120):



Рис. 120.

$$\Delta\alpha_1^\circ = 57^\circ,3 \frac{2}{\pi\lambda} C_y,$$

$$C_i = \frac{2}{\pi\lambda} C_y^2.$$

## § 9. Перерахунок Lilienthal'євої діяграми з одного подовження на інше

Згідно із сказаним у § 7, з певного продування прямокутнього й неперекрученого крила із сталим профілем можна знайти сучинник  $k$ , що характеризує профіль. А якщо для довільного крила властивості профілю відомі в усіх перекроях, то Lilienthal'єву діяграму для такого крила можна знайти без нових продувань, самим тільки обчисленням. Зважаючи на те, що тут доводиться розв'язувати багато рівнянь, бажано мати хоч менш точні, але доцільніші способи для найпростіших випадків.

Такий спосіб ми покажемо в цьому параграфі для випадків, дослідженіх у § 8.

Нехай дано два крила: обидва неперекручені й обидва мають у всіх перекроях той самий (спільний для обох крил) профіль. Крила визнаються, отже, своєю формою в пляні й своїм подовженням. Назвімо через  $\lambda'$  і  $\lambda''$  подовження першого й другого крила.

Припускаючи, що форма крил у пляні відповідає випадкам, дослідженім у попередньому параграфі, випишімо для кожного з цих крил відповідну йому формулу з попереднього параграфу й будемо значати одним штрихом перше крило, а двома штрихами — крило друге.

Маємо формули:

$$\Delta \alpha' = 57,3 \frac{M'}{\lambda'} C_y \text{ (в градусах)}, \quad (63_1)$$

$$C'_i = \frac{2}{\pi \lambda'} N' C_y^2; \quad (64_1)$$

$$\Delta \alpha'' = 57,3 \frac{M''}{\lambda''} C_y \text{ (в градусах)}, \quad (63_2)$$

$$C''_i = \frac{2}{\pi \lambda''} N'' C_y^2. \quad (64_2)$$

Тому що крила неперекручені, то кут устави кожного крила в усіх його перекроях одинаковий, але дійсний кут атаки в різних елементах крила буде різний.

Починімо досліджувати пересічну вартість дійсного кута атаки вздовж розмаху. Щоб його знайти, треба відняти з геометричного кута атаки крила пересічну для крила величину скосу потоку; а цю величину визначають формули  $(63_1)$  і  $(63_2)$ .

Припустімо тепер, що ми досліджуємо обидва крила при одинакових пересічних дійсних кутах атаки і нехай геометричні кути, що відповідають цьому пересічному дійсному кутові атаки, дорівнюють

$$\alpha' \text{ і } \alpha''.$$

Тому що в крилах одинакові профілі, то при рівних пересічних дійсних кутах атаки будуть рівні сучинники підіймальної сили; а значить пересічний дійсний кут атаки для першого крила дорівнює

$$\alpha' = 57,3 \frac{M'}{\lambda'} C_y,$$

а для другого

$$\alpha'' = 57,3 \frac{M''}{\lambda''} C_y.$$

Із рівності пересічних дійсних кутів виходить, що

$$\alpha'' - \alpha' = 57,3 \frac{M''}{\lambda''} C_y - 57,3 \frac{M'}{\lambda'} C_y$$

або

$$\alpha'' - \alpha' = 57,3 \left( \frac{M''}{\lambda''} - \frac{M'}{\lambda'} \right) C_y. \quad (65)$$

Ця формула показує залежність між геометричними кутами атаки крил для кожної вартості сучинника підіймальної сили  $C_y$ .

Нехай для першого крила відома крива  $A'$  (рис. 121), що показує  $C_y$ , залежно від геометричного кута атаки (цей кут може відрізуватись не від напряму першої осі профілю).

Візьмімо якесь точку  $\alpha'$  на кривій  $A'$ ; їй відповідає певна вартість геометричного кута атаки  $\alpha'$  і певна вартість сучинника  $C_y$ . Та сама вартість сучинника для другого крила атаки буде при геометричному куті атаки, що дорівнює не  $\alpha'$ , а  $\alpha''$ . Тому, щоб мати відповідну точку  $\alpha''$  кривої  $A''$  для другого крила, досить перенести точку  $\alpha'$  рівно біжно з поземою віссю на віддалі  $\alpha'' - \alpha'$ , що визначається формулою  $(65)$  (зауважмо, що ця віддаль може бути і додатна і від'ємна).

Повторюючи ту саму побудову для інших вартостей сучинника  $C_y$  легко побудуємо криву  $A''$ .

Щоб збудувати криву  $A''$  за кривою  $A'$ , найпростіше спочатку провести пряму  $G$ , що відповідає рівнянню (65), а потім перенести кожну точку кривої  $A'$  по прямій, рівнобіжній з віссю  $X$ , на величину відтинка між прямою  $G$  та віссю  $Y$ .

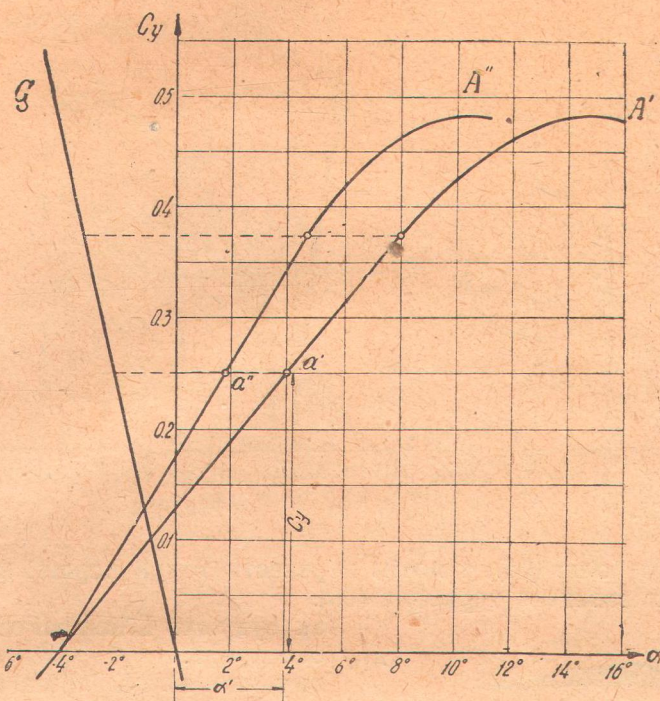


Рис. 121.

Почнімо тепер досліджувати опір крил.

Тому що профілі крил однакові, то й сучинники профільного опору будуть однакові; але сучинник профільного опору дорівнює сучинникові повного опору мінус сучинник індуктивного опору. Тому, припускаючи, що пересічний дійсний кут атаки обох крил одинаковий, знайдемо для сучинника  $C_p$  профільного опору, з одного боку, вираз

$$C'_x - C'_i = C'_x - \frac{2}{\pi \lambda'} N' C_y^2,$$

а з другого,

$$C''_x - C''_i = C''_x - \frac{2}{\pi \lambda''} N'' C_y^2.$$

З ціньої рівності виходить, що

$$C''_x - C'_x = \frac{2}{\pi} \left( \frac{N''}{\lambda''} - \frac{N'}{\lambda'} \right) C_y^2. \quad (66)$$

Ця формула показує залежність між вартостями сучинників повного опору для обох крил при тій самій вартості сучинника підіймальної сили і дозволяє за Lilienthal'евою діаграмою одного крила побудувати Lilien-thal'еву діаграму для другого крила.

Нехай  $L'$  — Lilienthal'ева крива для першого крила (рис. 122).

Візьмімо на ній точку  $b'$ , якій відповідає чоловий опір  $C'_x$  і підіймальна сила  $C_y$ . Ту саму вартість сучинника  $C_y$  матимемо для другого

крила при вартості сучинника чолового опору, що дорівнює  $C''_x$ ; значить точку  $b'$  треба пересунути на величину  $C''_x - C'_x$  в поземому напрямі.

Щоб збудувати точки кривої  $L''$ , зручно збудувати

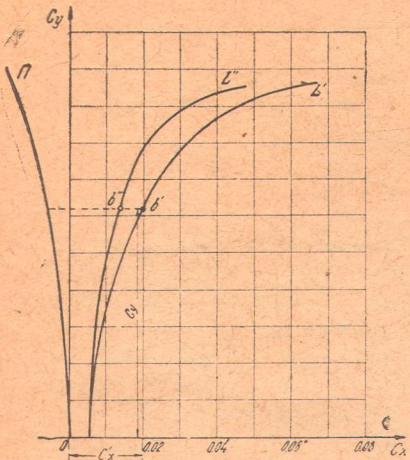


Рис. 122.

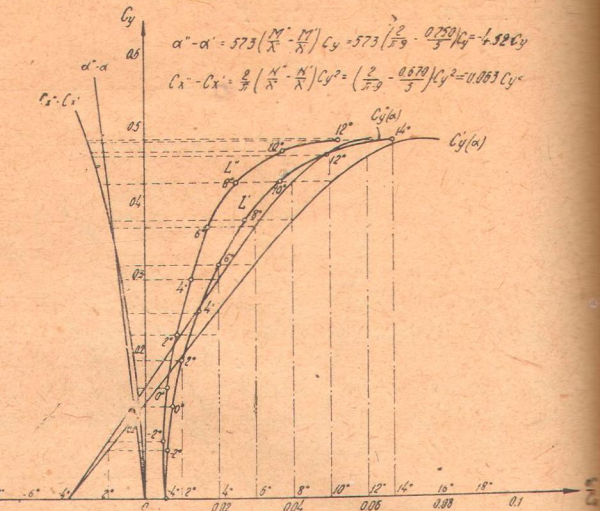


Рис. 123.

перед тим параболю (66), а потім перенести точки першої кривої  $L'$  на відтинки, що їх визначає парабола (66).

Так будують Lilienthal'еву криву для другого крила.

Тому що на Lilienthal'евій кривій відзначають не дійсні, а геометричні кути атаки, то, коли перенесемо точку  $b'$  в положення  $b''$ , позначка зміниться.

Щоб запобігти позначкам з дробовим числом градусів, на побудованій кривій  $L''$  роблять позначки за допомогою кривої  $A''$ , побудованої раніше.

Подаваний далі приклад пояснює сказане й разом із тим дає зручну схему будови нових Lilienthal'євих кривих.

**Приклад.** За даними наслідками про одування прямокутнього крила (рис. 123) з профілем № 423 (ЦАГІ) при  $\lambda=5$  збудувати Lilienthal'еву поляру для трапеційального крила того самого профілю при  $\lambda=9$ .

**Примітка.** Легко бачити, які зміни стаються в способі перерахування Lilienthal'євої полярі, якщо для обчислюваного крила сучинники  $C_y$  і  $C_i$  в функції від кута атаки знайдено методою §§ 5 і 6. У цьому випадку в формулу (66) замість  $N''$  треба підставити відповідну вартість з виразу для  $C_i$ . Це дасть змогу збудувати

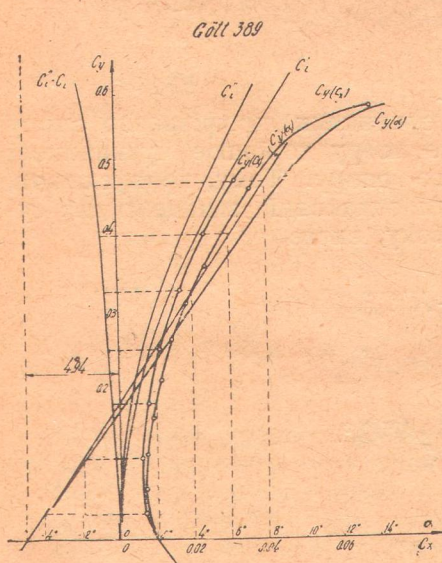


Рис. 124.

поляру. Щодо розмічення кутів атаки, то це можна зробити за допомогою кривої для  $C_y$ . На рис. 124 це зроблено для крила, дослідженого в § 6.

ДОДАТОК 1.

Деякі конформні зображення.

1. Зображення кола на півплощину (рис. 125):

$$z = R \frac{1+it}{1-it}.$$

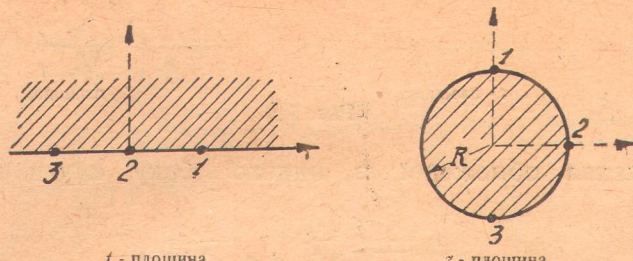


Рис. 125.

2. Зображення півколо на півплощину (рис. 126):

$$t = \left( \frac{\zeta + R}{\zeta - R} \right)^2$$

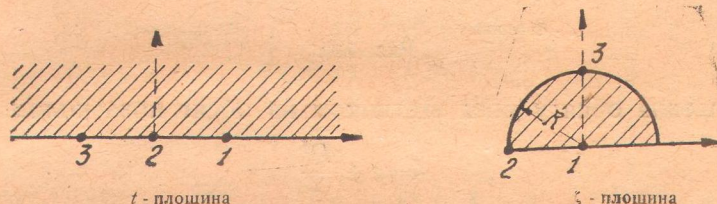


Рис. 126.

3. Зображення кута на півплощину (рис. 127):

$$t = \zeta^n.$$

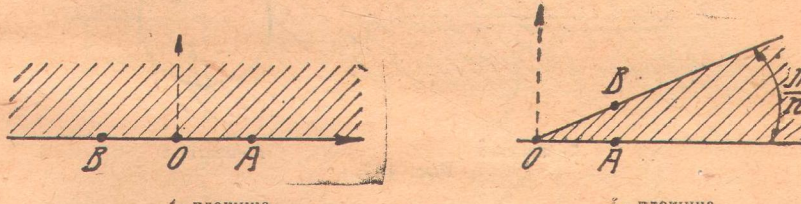


Рис. 127.

4. Зображення колового сектора на півплощину (рис. 128):

$$t = \left( \frac{\zeta^n + R^n}{\zeta^n - R^n} \right)^2$$



Рис. 128.

5. Зображення смуги на півплощину (рис. 129):

$$t = e^{\frac{\pi}{h}\zeta}$$

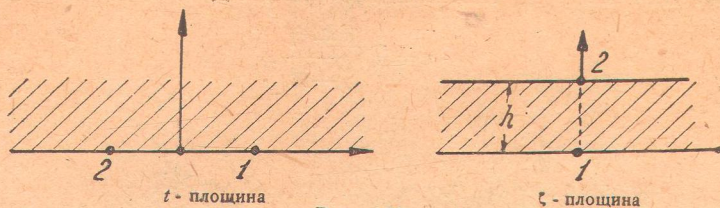


Рис. 129.

6. Зображення обмеженої з одного боку смуги на півплощину (рис. 130):

$$t = \frac{1}{2} \left( e^{\frac{\pi i}{h}\zeta} + e^{-\frac{\pi i}{h}\zeta} \right)$$

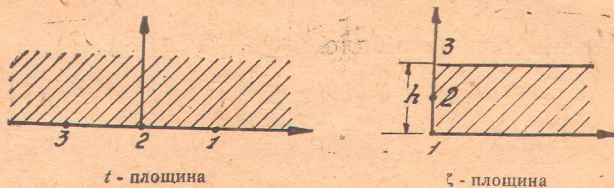
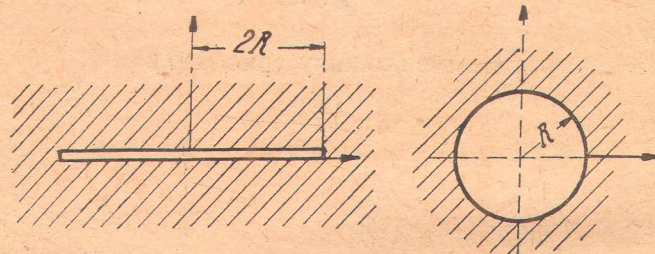


Рис. 130.

7. Зображення обсягу поза відтинком на обсяг поза колом (рис. 131):

$$\zeta = z + \frac{R^2}{z}$$

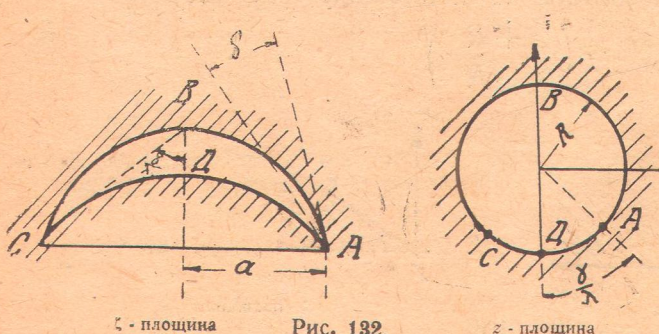


$\zeta$  - площа

$z$  - площа

Рис. 131.

8. Зображення обсягу поза коловою дучкою на обсяг поза колом (рис. 132):



$\zeta$  - площа

Рис. 132.

$z$  - площа

$$\frac{\zeta - a}{\zeta + a} = \left( \frac{z + iRe^{\frac{i\gamma}{\lambda}}}{z + iRe^{-\frac{i\gamma}{\lambda}}} \right)$$

де  $\lambda = 2 - \frac{\delta}{\pi}$  ( $\delta$  — кут дучки).

При цьому  $a$ ,  $\gamma$ ,  $\delta$  визначають дучку, а  $R$  — довільне.

Якщо  $R$  визначити з рівності

$$R = \frac{a}{\lambda \sin \frac{\gamma}{\lambda}},$$

то для великих модулем  $\zeta$  буде розклад:

$$z = \zeta - i \frac{a}{\lambda} \operatorname{ctg} \frac{\gamma}{\lambda} - \frac{\lambda^2 - 1}{3\lambda^2} \frac{a^2}{\zeta} + \dots$$

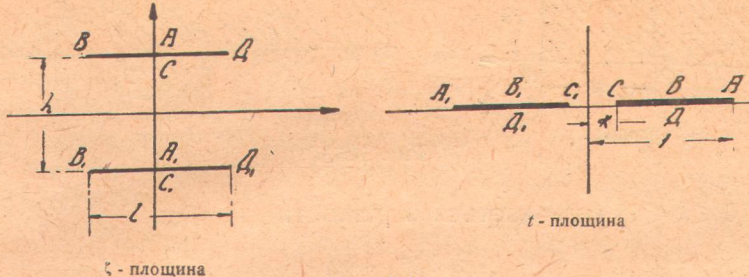


Рис. 133.

9. Зображення обсягу поза двома рівними відтинками, що лежать на одній прямій, на обсяг поза двома рівними рівнобіжними відтинками (рис. 133):

$$\zeta = \frac{h}{\pi} \int_0^t \frac{(E' - K't^2) dt}{V(1-t^2)(t^2-x^2)},$$

де

$$0 < x < 1, \quad x' = \sqrt{1-x^2},$$

$$K' = \int_0^1 \frac{dx}{V(1-x^2)(1-x'^2x^2)}; \quad E' = \int_0^1 \sqrt{\frac{1-x'^2x^2}{1-x^2}} dx;$$

$$\lambda = \sqrt{\frac{1-\frac{E'}{K'}}{1-x^2}};$$

$$\frac{l}{h} = \frac{2}{\pi} \left\{ K' \int_0^{\lambda} \sqrt{\frac{1-x'^2x^2}{1-x^2}} dx - E' \int_0^{\lambda} \frac{dx}{V(1-x^2)(1-x'^2x^2)} \right\}.$$

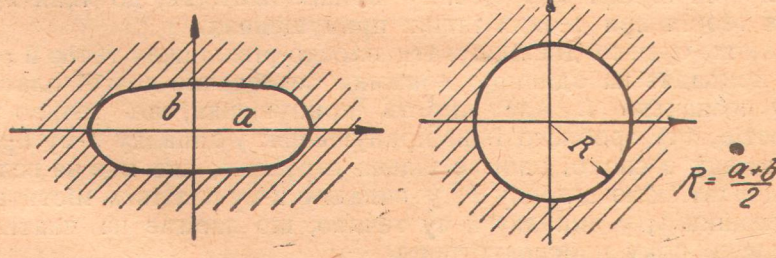


Рис. 134.

Щоб обчислити інтеграли, що тут зустрічаються (так звані еліптичні інтеграли), є спеціальні таблиці. Див. E. Jahnke und F. Emde, Funktionentafeln mit Formeln und Kurven (Verlag von B. Teubner, 1928).

10. Зображення обсягу поза еліпсою на обсяг поза колом (рис. 134):

$$\zeta = z + \frac{a^2 - b^2}{4z}.$$

11. Зображення прямокутника на півплощину (рис. 135):

$$\zeta = \frac{a}{k} \int_0^t \frac{dt}{\sqrt{(1-t^2)(1-k^2t^2)}}.$$



Рис. 135.

Модуль  $k$  ( $0 < k < 1$ ) визначається з рівності

$$\frac{K'}{K} = \frac{2b}{a},$$

де

$$k = \int_0^1 \frac{dt}{\sqrt{(1-t^2)(1-k^2t^2)}},$$

$$K' = \int_0^1 \frac{dt}{\sqrt{(1-t^2)(1-k'^2t^2)}},$$

$$K' = \sqrt{1 - k^2}.$$

## ДОДАТОК 2.

### Удар струмини на платівку в обмеженому потокові<sup>1</sup>

У § 5 розділу IV ми застосували струминну теорію Helmholtz—Kirchhoff'a до обчислення тиску течива на платівку, що рухається в усьому просторі, занятому течивом, нормальню до своєї площини.

У цьому параграфі без доводу подано наслідки, до яких приводить струминна теорія при деяких інших припущеннях.

Як і раніш, будемо досліджувати плоско-рівнобіжну течію й обчислюти силу, що припадає на одиницю довжини безконечно-довгої платівки, що її ширину позначено  $l$ . Але замість припущення, що течиво заповнює всесь простір, тут зроблено інші припущення: у випадку 1-му припущеню, що на платівку в спокої набігає вільна струмина, яка має на великій віддалі перед платівкою ширину  $h$ ; у випадку 2-му платівка міститься в канал завширшки  $h$ ; у випадку 3-му течиво, що набігає на платівку, обмежене з одного боку плоскою стіною.

У всіх випадках досліджують прямий удар, тобто платівка лежить під прямим кутом до напряму потоку на великій віддалі перед платівкою, діє в усьому дальншому швидкість позначено  $V_\infty$ , при цьому в перших двох випадках платівка лежить симетрично щодо потоку.

<sup>1</sup> Подані в цьому параграфі наслідки добули М. Є. Жуковський, У. Сісотті, Н. Віллат, див. В. Голубев, „Теория крыла аэроплана в плоско-параллельном потоке“ („Труды ЦАГИ“, вип. 29); Н. Віллат, Aperçus théoriques sur la résistance des fluides (Paris, 1920).

Умови положення платівки в досліджуваних тут випадках аналогічні з тими, що бувають при випробах крила в аеродинамічних трубах, а також при рухові крила коло поверхні землі. Тому, хоч безпосередньо наслідків цього параграфу до крила не можна застосувати, порівнявши їх з наведеною в § 5 розділу IV формулою

$$R = \frac{\pi}{4 + \pi} \rho l V_0^2, \quad (1)$$

можна зробити деякі висновки про значення трубы, а також інших умов, що обмежують обсяг, занятий потоком.

1) Платівка вміщена у вільну струмину конечної ширини (рис. 136). Опір  $R$  подається формулою:

$$R = \frac{\pi}{\pi + 2 \operatorname{ctg} \frac{\alpha}{2} \ln \operatorname{tg} \left( \frac{\alpha}{2} + \frac{\pi}{4} \right)} \cdot \rho l V_0^2, \quad (2)$$

де параметр  $\alpha$  визначається із співвідношення

$$l = 2 h \sin^2 \frac{\alpha}{2} \left[ 1 + \frac{2}{\pi} \operatorname{ctg} \frac{\alpha}{2} \cdot \ln \operatorname{tg} \left( \frac{\alpha}{2} + \frac{\pi}{4} \right) \right] \quad (3)$$

Зауважмо, що параметр  $\alpha$  дорівнює кутові, що в точці  $A$  дотична до струмінни  $AA_1$  утворює з віссю симетрії, тобто з поземним напрямом.

На підставі (3)  $\alpha$  є функція від відношення  $\frac{h}{l}$ . Тому можна покласти:

$$\frac{\pi}{\pi + 2 \operatorname{tg} \frac{\alpha}{2} \cdot \ln \operatorname{tg} \left( \frac{\alpha}{2} + \frac{\pi}{4} \right)} = C \left( \frac{h}{l} \right), \quad (4)$$

так що

$$R = C \left( \frac{h}{l} \right) \rho l V_0^2. \quad (5)$$

На дальшій таблиці подано вартості сучинника  $C \left( \frac{h}{l} \right)$ .

| $\alpha$                       | $0^\circ$ | $10^\circ$ | $20^\circ$ | $30^\circ$ | $40^\circ$ | $50^\circ$ | $60^\circ$ | $70^\circ$ | $80^\circ$ | $90^\circ$ |
|--------------------------------|-----------|------------|------------|------------|------------|------------|------------|------------|------------|------------|
| $\frac{h}{l}$                  | $\infty$  | 29         | 7,4        | 3,2        | 1,8        | 1,1        | 0,8        | 0,58       | 0,4        | 0          |
| $C \left( \frac{h}{l} \right)$ | 0,44      | 0,44       | 0,43       | 0,43       | 0,43       | 0,42       | 0,40       | 0,38       | 0,36       | 0          |

Зауважмо, що при  $h = \infty$  маємо випадок, досліджений у § 5 розділу IV, коли течіво заповнює ввесь простір і коли, отже, справжується формула (1). Із таблиці виходить, що поки  $h$  не менше за  $l$ , тобто поки  $\frac{h}{l} \geq 1$ ,

сучинник  $C \left( \frac{h}{l} \right)$  мало різиться від тої вартості, яка відповідає  $h = \infty$ ,

тобто від  $0,44 = \frac{\pi}{4 + \pi}$ .

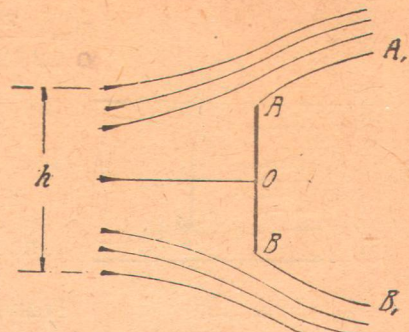
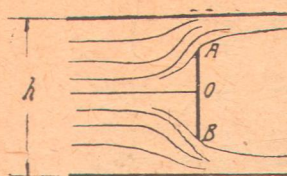


Рис. 136.

2) Платівка, вміщена в канал між двома плоскими стінками (рис. 137).  
Опір подається формулою:

$$R = \frac{\pi \operatorname{tg}^2 \beta (\operatorname{tg} \beta - 1)}{2 \{ 2\beta (\operatorname{tg} \beta + 1) - \pi \}} \rho l V_0^2, \quad (6)$$



при чому  $\beta$  визначається із співвідношення

$$\frac{l}{h} = \frac{(\operatorname{tg} \beta - 1) \{ 2\beta (\operatorname{tg} \beta + 1) - \pi \}}{\pi \operatorname{tg}^2 \beta}; \quad (7)$$

воно показує, що  $\beta$  є функція від відношення  $\frac{h}{l}$ .

Рис. 137.

Тому, покладаючи

$$K \left( \frac{h}{l} \right) = \frac{\pi \operatorname{tg}^2 \beta (\operatorname{tg} \beta - 1)}{2 \{ 2\beta (\operatorname{tg} \beta + 1) - \pi \}}, \quad (8)$$

можемо написати (6) у формі

$$R = K \left( \frac{h}{l} \right) \rho l V_0^2.$$

Тому що  $h > l$ , то  $\beta$  повинне сповідгувати нерівність

$$\frac{\pi}{4} < \beta < \frac{\pi}{2}. \quad (9)$$

Зауважмо, що  $V_0 \operatorname{tg} \beta$  виявляє швидкість потоку на безкінечності позаду платівки.

Наведена таблиця показує, що тут уплив обмеженості потоку багато більший, ніж у першому випадку.

| $\frac{h}{l}$ | $K \left( \frac{h}{l} \right)$ | $\frac{h}{l}$ | $K \left( \frac{h}{l} \right)$ |
|---------------|--------------------------------|---------------|--------------------------------|
| 1,21          | 60,5                           | 4             | 2                              |
| 1,44          | 18,0                           | 9             | 1,1                            |
| 1,69          | 9,4                            | 16            | 0,9                            |
| 1,96          | 6,1                            | 25            | 0,8                            |
| 2,25          | 4,5                            | 36            | 0,72                           |
| 2,56          | 3,6                            | 49            | 0,68                           |
| 2,89          | 2,94                           | 64            | 0,64                           |
| 3,24          | 2,4                            | 81            | 0,63                           |
| 3,61          | 2,2                            | 100           | 0,61                           |
|               |                                | $\infty$      | 0,44                           |

3) Потік, що набігає на платівку, обмежений з одного боку плоскою стіною, нормальню до напряму платівки (рис. 138).

У цьому випадку для опору буде така сама формула (1), як і для випадку потоку, необмеженого з усіх боків.

Зауважмо, що для косого удару,

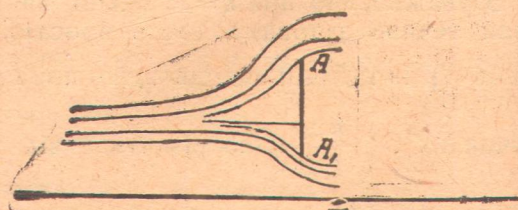


Рис. 138.

тобто для випадку, коли платівка  $AA_1$  нахиlena до стіни під кутом, відмінним від  $90^\circ$ , для опору буде вираз, відмінний від того, який буває у випадку потоку, що заповнює ввесь простір.<sup>1</sup>

### ДОДАТОК 3

#### Плоско-рівнобіжне обтікання деяких складних крил

1) Вплив нерухомої границі (поверхні землі) на підймальну силу крила (рис. 139). Припустімо, що крило задано профілем  $L$ , що центр крила міститься на висоті  $h$  над поверхнею землі, яку на рисунку показано віссю  $x$ . Комплексну змінну позначмо через

$$z = x + iy.$$

Якщо циркуляція навколо крила дорівнює  $\Gamma$ , а швидкість крила позема й дорівнює  $V_0$ , то комплексний потенціал течії виражається формулою:

$$w = -V_0 z - \frac{\Gamma i}{2\pi} \ln(z - hi) + \frac{\Gamma i}{2\pi} \ln(z + hi) + \dots,$$

де пропущені члени мають форму

$$\frac{A + Bi}{z + hi} + \frac{A - Bi}{z - hi}, \quad \frac{C + Di}{(z + hi)^2} + \frac{C - Di}{(z - hi)^2}, \dots$$

а сучинники  $A, B, C, D\dots$  залежать від форми профілю. Обчислюючи за формулою Blasius'a-Чаплигіна підймальну силу, знайдемо, що вона дорівнює

$$P = \rho V_0 \Gamma \left( 1 - \frac{\Gamma}{4\pi V_0 h} \right) = \rho V_0 \Gamma - \frac{\rho \Gamma^2}{4\pi h}.$$

Якби граніці не було, то підймальна сила дорівнювала б  $\rho V_0 \Gamma$ ; граніця ж, як бачимо, зменшує підймальну силу.

2) Обтікання крила, що в профілі мало різниця від злегка закругленого спереду відтинка простої (рис. 140). Точка  $A$  (їй відповідає число  $z = -a$ ) є задній кант; точка  $B$  ( $z = a$ ) лежить у середині закруглення.

Якщо швидкість крила має проекції  $V_0 \cos \alpha$ ,  $-V_0 \sin \alpha$ , то для відповідної оберненої течії комплексна швидкість з великим наближенням подається у формі:

$$u - iv = -V_0 \left( \cos \alpha + i \sin \alpha \sqrt{\frac{z+a}{z-a}} \right).$$

Підймальна сила дорівнює:

$$P = \pi \rho 2 a V_0^2 \sin \alpha.$$

<sup>1</sup> Див. зазначений раніше твір H. Villat.

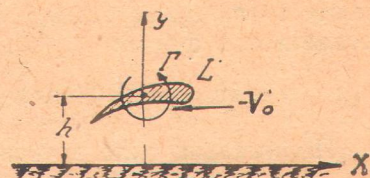


Рис. 139.

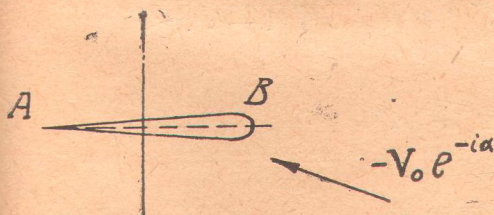


Рис. 140.

швидкість з великим наближенням подається у формі:

3) Обтікання розрізного крила, що складається з кількох крил дослідженого раніш типу (рис. 141).



Рис. 141.

Заднім кантам крил  $A_1, A_2, \dots, A_n$  відповідають числа  $z = a_1, a_2, \dots, a_n$ ; точкам  $B_1, B_2, \dots, B_n$ , що лежать у середині закруглень, відповідають числа  $z = b_1, b_2, b_3, \dots, b_n$ ; комплексна швидкість з великим наближенням подається в формі:

$$u - iv = -V_0 \left\{ \cos \alpha + i \sin \alpha \sqrt{\frac{(z - a_1)(z - a_2) \dots (z - a_n)}{(z - b_1)(z - b_2) \dots (z - b_n)}} \right\}.$$

Підіймальна сила дорівнює

$$P = \pi \rho V_0^2 L \sin \alpha,$$

де  $L = A_1 B_1 + A_2 B_2 + \dots + A_n B_n$  є сума глибин усіх крил. Отже, підіймальна сила розрізного крила не залежить від того, зімкнені чи розсунуті крила, що його утворюють.

4) Обтікання біпланного крила, що складається з однакових і сторч одне над одним установлених крил дослідженого раніш типу (рис. 142).

Заднім кантам крил  $A_1$  і  $A_2$  відповідають числа  $z = -\frac{l}{2} + \frac{hi}{2}$ ,

$$z = -\frac{l}{2} - \frac{hi}{2}; \text{ точкам } B_1 \text{ і } B_2, \text{ що лежать}$$

у середині закруглень, відповідають числа  $z = \frac{l}{2} + \frac{hi}{2}, z = \frac{l}{2} - \frac{hi}{2}$

Знайшовши з рівностей<sup>1</sup>

$$\frac{l}{h} = \frac{2}{\pi} \left\{ K' \int_0^\lambda \sqrt{\frac{1 - x'^2 x^2}{1 - x^2}} dx - E' \int_0^\lambda \frac{dx}{V(1 - x^2)(1 - x'^2 x^2)} \right\},$$

$$\lambda = \sqrt{1 - \frac{E'}{K'}}, \quad x^2 + x'^2 = 1$$

модуль  $x$ , покладімо

$$z = \frac{h}{\pi} \int_0^t \frac{(E' - K' t^2) dt}{V(1 - t^2)(t^2 - x^2)} \quad (*)$$

Тоді комплексна швидкість з великим наближенням подається у формі:

$$u - iv = -V_0 \left\{ \cos \alpha + \frac{\sin \alpha}{K' t^2 - E'} \left[ K' V (1 - t^2) (t^2 - x^2) - \sqrt{\frac{K'}{E'}} \cdot V (K' - E') (E' - x^2 K' t) \right] \right\},$$

де  $t$  зв'язане з  $z$  формулою (\*).

<sup>1</sup> Див. додаток I, приклад 9.

Користуючись із формулами Чаплигіна-Blasius'a, матимемо для підіймальної сили вираз

$$P = 2 \rho V_0^2 h \sin \alpha \sqrt{\frac{K'}{E'}} \sqrt{(K' - E') (E' - z^2 K')}.$$

Цей вираз можна подати у формі:

$$P = 2 \pi \rho V_0^2 l \sin \alpha L,$$

де  $L$  — якийсь сучинник, що залежить від відношення  $\frac{h}{l}$ .

На рис. 143 варності сучинника  $L$  подано графічно.

Завважуючи, що  $L$  завжди менший від 1, і пригадуючи, що для монопляна з глибиною  $2l$  підіймальна сила дорівнює

$$2\pi\rho V_0^2 l \sin \alpha,$$

знаходимо, що підіймальна сила моноплянного крила з глибиною, яка дорівнює сумі глибин крил біпляна, за інших рівних умов більша від підіймальної сили біпляна.

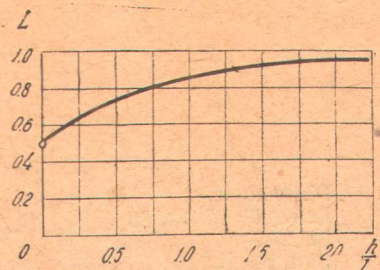


Рис. 143.

## ПОКАЗНИК ІМЕН

- D'Alembert 8  
Bernoulli 13, 73, 86  
Betz 77  
Biot 26  
Blasius 44, 70, 141, 143  
Boltz 70  
Cauchy 36, 114  
Christoffel 64  
Cisotti 138  
Eiffel 83, 98  
Euler 7, 9, 35  
Emde 137  
Flettner 66  
Fuchs 91, 99, 102  
Fourier 115  
Helmholtz 21, 22, 65, 72, 74, 138  
Hiemenz 70  
Hopf 91, 99, 102  
Jahnke 137  
Karman 64, 67, 70, 72  
Kirchhoff 74, 138  
Lamb 13  
Lachman 93  
Lanchester 109  
Lilienthal 89, 90, 93, 130, 131, 133, 134  
Lössl 87  
Mises 14, 59, 61, 78  
Magnus 65, 66  
Müller 64  
Munk 119, 121  
Navier 28  
Newton 27, 35  
Pitot 14, 86  
Prandtl 3, 66, 67, 70, 81, 86, 87, 91, 109, 122  
Pohlhausen 70  
Rayleigh 76, 77  
Reynolds 30, 80, 81, 89, 100, 102, 104, 105  
Riemann 36  
Rubach 72  
Savart 26  
Schwarz 64  
Stoke 15 28, 65  
Thomson 19, 21  
Taylor 6  
Treffitz 64, 122  
Villat 138, 141  
Безікович 115, 118  
Голубев 138  
Громеко 13  
Жуковський 4, 47, 52, 53, 56, 63, 64, 76, 77  
93, 109, 138  
Каган 17  
Красноперов 80, 83, 86, 87  
Лесникова 87, 90, 98  
Філіпс 17  
Фрідман 115, 118  
Чаплигін 44, 61, 109, 141, 143  
Чесалов 100, 102, 105, 124, 130  
Юр'єв 3, 87, 90, 98

## УКРАЇНСЬКО-РОСІЙСЬКИЙ ТЕРМІНОЛОГІЧНИЙ СЛОВНИЧОК

### Б

Бік (кута) — сторона

### В

Важіль — рычаг  
 Вартість — значение  
 Бежа — башня  
 Вершок — вершина  
 Відда́ль — расстояние  
 Від'ємний — отрицательный  
 Віднімання (мат.) — вычитание  
 Вільний — свободный  
 Відмінний — отличный  
 Відносний — относительный  
 Відповідний — соответственный  
 Відтинок — отрезок  
 Відхил — отклонение  
 Вісний — осенний  
 Вітрило — парус  
 Вимір (на слідо́к) — измерение  
 Вимірювання (проце́с) — измерение  
 Вимірчий — измерительный  
 Випробування — испытание  
 Вислідна (сила) — равнодействующая  
 Вихор — вихрь  
 Вихротворення — вихреобразование  
 Властивість — свойство

### Г

Гарматень (артил.) — снаряд  
 Границя — предел  
 Густина (фіз.) — плотность

### Д

Двигун — двигатель  
 Дучка — луночка

### З

Занурення — погружение  
 Заслона — пелена  
 Збурювати (потік) — возмущать  
 Зображення — изображение

### К

Ковзання — скольжение  
 Ковзти — скользить  
 Коловий (швидк.) — окружной, круговой

### Л

Лійкуватий — воронкообразный  
 Літ (льоту) — лет  
 Літак (-ка) — самолет  
 Літальний — летательный  
 Літний — летний  
 Лижви — лыжи

### М

Межа — граница  
 Мірило — масштаб

### Н

Наближення — приближение  
 Наблизено — приближено  
 Напруга — напряжение  
 Напрям — направление  
 Насичений — насыщенный  
 Незалежний — независимый  
 Нерівність — неравенство  
 Нерухомий — неподвижный  
 Несний — несущий  
 Нестисливість — несжимаемость

### О

Обвід — окружност  
 Обертання — вращение  
 Обертати — обращать, вращать  
 Обертовий — вращающийся  
 Обійтати — охватывать  
 Обмежений — ограниченный  
 Обсяг — область  
 Обчислення — вычисление  
 Окрайок — кромка  
 Опірення — оперение  
 Опірний — опорный  
 Опір — сопротивление  
 Отвір — отверстие

### П

Пара — пар  
 Первісний — первоначальный  
 Передатний — передаточный  
 Перепона — преграда, препятствие  
 Перекрій — сечение  
 Перетворити — преобразовать  
 Перетин — пересечение  
 Перетинати — пересекать  
 Півколо — полуокружность  
 Півплошина — полуплоскость

Платівка—пластинка  
Плавкий—плавный  
Площа—площадь  
Площина—плоскость  
Площінка—площадка  
Побудова—построение  
Побудувати—построить  
Поверхневий—поверхностный  
Поверхня—поверхность  
Подовжний—продольный  
Подовження—удлинение  
Поземий—горизонтальный  
Поплавець—поплавок  
Поправковий—поправочный  
Порожнина—полость  
Потік—поток  
Потужність—мощность  
Похилий—наклоненный  
Початковий—начальный  
Почіпка—подвес  
Похідний—производный  
Припливати—притекать  
Приріст—приращение  
Пришивання—ускорение  
Проміжний—промежуточный  
Промінь—луч  
Проста (л і н і я)—прямая  
Простір—пространство  
Прямокутній—прямоугольный

Сталий—постоянный  
Стерно—руль  
Стійкість—устойчивость  
Стисливість—сжимаемость  
Стовп—столб  
Стояк—стойка  
Сторчовий—вертикальный  
Стрибок—прыжок, скакок  
Стрижень—стержень  
Струм (е л е к т р.)—ток  
Сувісний—соосный  
Супряжений—сопряженный  
Суставний—шарнирный  
Суцільний—сплошной

## Т

Твірний—образующий  
Терези—весы  
Тertia—трение  
Течія—течение  
Течиво—жидкость  
Течкий—текущий  
Течний—жидкий  
Тимчасовий—временный  
Тиск—давление  
Тотожний— тождественный  
Трикутник—треугольник  
Тягар—груз  
Тятива—хорда

## У

Устава—установка  
Утворення—образование  
Ущільнення—уплотнение  
Уявлюваній—воображаемый  
Уявний—мнимый

## Ц

Цупкий—жесткий

## Ч

Човен—лодка  
Чоловий—лобовой

## Ш

Шар—слой  
Швидкісний—скоростной  
Швидкість—скорость  
Шерехатість—шероховатость  
Шина—шина  
Шинування—обтяжка  
Шкідливий—вредный

## Щ

Щілина—щель

## Я

Якість—качество

Рамено—плечо  
Рівень—уровень  
Рівність—равенство  
Рівняння—уравнение  
Рисунок—чертеж  
Розв'язання (м а т.)—решение  
Розв'язати—решить  
Розклад—разложение  
Розмір—размер  
Розмічання—разметка  
Розподіл—распределение  
Розрідження—разрежение  
Розсунений—раздвинутый  
Розташування—расположение  
Розтяг—растяжение  
Розчалка—расчалка  
Рух—движение  
Рухомий—подвижный

## С

Середовище—среда  
Сідання—посадка  
Складовий—составной  
Смуга—полоса  
Спадний—убывающий  
Спіралюватий—спиралеобразный  
Спокій—покой  
Спокійний (в с п о к о ї) — покоящийся  
Спостереження—наблюдение  
Спостережний—наблюдательный  
Спостерігати—наблюдать  
Справдjuватись — выполняться

## З МІСТ

|                     |   |
|---------------------|---|
| Передмова . . . . . | 3 |
| Вступ . . . . .     | 4 |

### Розділ I. Найпотрібніші відомості з гідродинаміки

|   |    |
|---|----|
| § 1. Основні поняття . . . . .  | 5  |
| 2. Рівняння нестисливості (нерозривності) . . . . .                                   | 6  |
| 3. Про сили, що чинять на виділений у течиві елемент об'єму . . . . .                 | 8  |
| 4. Рівняння руху ідеального течива . . . . .  | 8  |
| 5. Границі та початкові умови . . . . .   | 9  |
| 6. Розкладання руху частки на найпростіші елементи . . . . .                          | 10 |
| 7. Вихри, вихрові лінії . . . . .   | 11 |
| 8. Лінії й трубки потоку . . . . .  | 12 |
| 9. Рівняння в Lamb'овій формі . . . . .   | 13 |
| 10. Теорема D. Bernoulli . . . . .  | 13 |
| 11. Поняття про циркуляцію. Stokes'ова теорема . . . . .                              | 15 |
| 12. Thomson'ова теорема . . . . .   | 19 |
| 13. Helmholtz'ові теореми про вихри . . . . .   | 21 |
| 14. Приклад вихрового руху . . . . .  | 23 |
| 15. Визначення швидкостей часток течива при даному розподілі вихрів у ньому . . . . . | 24 |
| 16. Поняття про в'язкість . . . . .   | 25 |
| 17. Умови подібності двох течій . . . . .   | 28 |

### Розділ II. Плоскі течії

|  |    |
|--|----|
| § 1. Поняття про плоску течію . . . . .                            | 31 |
| 2. Основні рівняння для плоских течій . . . . .                    | 32 |
| 3. Функції комплексного змінного . . . . .                         | 34 |
| 4. Обтікання колового циліндра . . . . .                           | 38 |
| 5. Обчислення сил, що чинять на тіло в плоскому потокові . . . . . | 42 |
| 6. Поняття про конформне відтворення . . . . .                     | 47 |
| 7. Приклад конформного відтворення . . . . .                       | 50 |

### Розділ III. Аероплянне крило в плоско-рівнобіжному потокові

|  |    |
|--|----|
| § 1. Основні поняття . . . . .   | 52 |
| 2. Профіль M. Є. Жуковського . . . . .   | 53 |
| 3. Обчислення сил, що чинять на профіль M. Є. Жуковського . . . . .              | 56 |
| 4. Параболя стійкості . . . . .  | 59 |
| 5. Підімальна сила, момент і параболя стійкості для будь-якого профілю . . . . . | 61 |
| 6. Ідея методи M. Є. Жуковського та узагальнення її . . . . .                    | 63 |

### Розділ IV. Вихрові явища в плоско - рівнобіжному потокові

|  |    |
|--|----|
| § 1. Роль в'язкості в процесі утворення циркуляції . . . . . | 65 |
| 2. Magnus'iv ефект. Flettner'iv роторний корабель . . . . .  | 66 |
| 3. Теорія поверхневого шару . . . . .                        | 67 |
| 4. Karm'an'ові вихрові вулиці . . . . .                      | 70 |
| 5. Струминна теорія . . . . .                                | 72 |
| 6. Експериментальна перевірка теорії . . . . .               | 76 |

### Розділ V. Методи експериментальної аеродинаміки

|  |    |
|--|----|
| § 1. Потреба експериментальних дослідів в аеродинаміці . . . . . | 79 |
| 2. Перенесення наслідків експерименту на дійсність . . . . .     | 79 |
| 3. Аеродинамічні труби . . . . .                                 | 81 |
| 4. Вимірючі інструменти . . . . .                                | 86 |

|   |     |
|---|-----|
| § 5. Кут атаки, підймальна сила, чоловий опір та інші величини, що характеризують крило | 87  |
| § 6. Наслідки експериментальних досліджень крил   | 91  |
| § 7. Дослідження опірення   | 98  |
| § 8. Дослідження фюзеляжів та радіаторів  | 102 |
| § 9. Човни, поплавці, колеса та лижви   | 102 |
| § 10. Стояки  | 104 |
| § 11. Круглий дріт, труби, троси  | 105 |

Розділ VI. Вихрова теорія крила конечного розмаху

|  |     |
|--|-----|
| § 1. Вступ   | 108 |
| § 2. Основні поняття   | 109 |
| § 3. Визначення додаткової сторчової швидкості при заданому розподілі циркуляції | 113 |
| § 4. Munk'ова задача   | 119 |
| § 5. Розподіл циркуляції навколо заданого крила                                  | 121 |
| § 6. Приклад   | 124 |
| § 7. Визначення сучинника к  | 125 |
| § 8. Наближені формулі для монопланного крила                                    | 129 |
| § 9. Перерахунок Lilienthal'євої діяграми з одного подовження на інше            | 131 |
| Додаток 1. Деякі конформні зображення  | 135 |
| Додаток 2. Удар струмини на платівку в обмеженому потокові                       | 138 |
| Додаток 3. Плоско-рівнобіжне обтікання деяких складних крил                      | 141 |
| Показник імен  | 144 |
| Укр.-російський термінологічний словничок  | 145 |

13759

